

Il-Bajja tal-Gnejna  
(Gnejna Bay)

Ras Il-Pellegrin

Ta' Zammitellu

Rđum  
I-Imdawwar

Il-Pellegrin

Il-Gnejna

Il-Halgun

A cura di Stefano FURLANI, a.a. 2021-2022

# CARTOGRAFIA GEOMORFOLOGICA

---

Programma

# OBIETTIVI DELLA LEZIONE

# PROGRAMMA DELLA LEZIONE

---

- × Criteri di classificazione delle forme
- × Scale di rappresentazione, tipi di carte geomorfologiche
- × Legende geomorfologiche
- × Il rilevamento geomorfologico, il rilevamento del substrato, il rilevamento delle forme, rilevamento dei depositi superficiali
- × Classificazione territoriale (Land system mapping)
- × Software per la cartografia geomorfologica, GIS
- × Esempi di legenda geomorfologica
- × Esempi di carte geomorfologiche

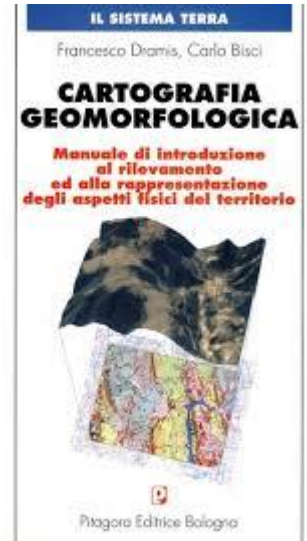
---

# BIBLIOGRAFIA

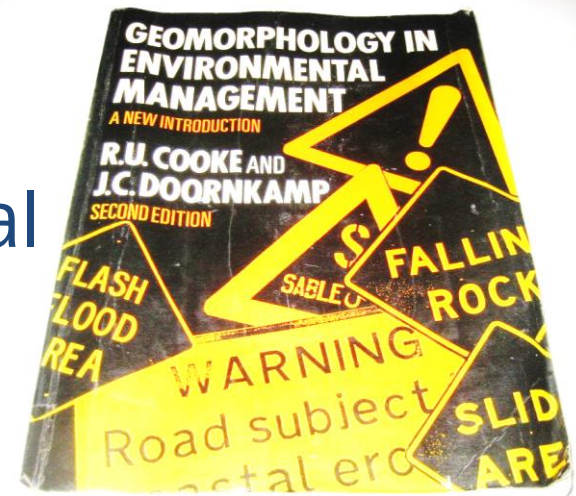
---

# BIBLIOGRAFIA ESSENZIALE

- × Dramis & Bisci (1998) – Cartografia geomorfologica. Pitagora editrice Bologna



- × Cooke & Doornkamp (1997) – Geomorphology in Environmental management



---

Forme e depositi

# CRITERI DI CLASSIFICAZIONE

---

- 
- × Agente morfogenetico: fenomeno che, attraverso l'attivazione di meccanismi particolari denominati processi morfogenetici, sono in grado di generare o modificare le forme del paesaggio
  - × La capacità di indurre processi morfogenetici dipende da un insieme di condizioni statiche e dinamiche chiamate fattori morfogenetici (esogeni ed endogeni)

# CRITERI CLASSIFICATIVI

---

- × Criteri su base morfogenetica
- × Criteri su base morfometrica
- × Criteri su base morfodinamica
- × Criteri su base morfocronologica

# CRITERI MORFOGENETICI

---

- ✘ In primo luogo vengono distinte le forme endogene (tettoniche, vulcaniche e sismiche) dalle forme esogene (erosione, accumulo, biogeniche ed antropiche, crateri d'impatto)
- ✘ Le forme esogene, ed i depositi connessi, sono ulteriormente divise in classi (acque correnti, masse glaciali, acque di fusione, periglaciali, eoliche, moto ondoso, carsismo, antropiche, gravitative)
- ✘ Forme strutturali (da degradazione ed erosione selettiva in funzione del substrato), no forme endogene

# CRITERI MORFOMETRICI

---

- × Prendono in considerazione le dimensioni (a cui sono associati condizioni genetiche e tempi di permanenza diversi)
- × Classificazioni di forma (bacini, reticoli idrografici, versanti, doline, frane, ecc)
- × Molto usate nello studio dei reticoli idrografici (gerarchizzazione delle aste fluviali), nella geomorfologia fluviale e nell'ingegneria idraulica
- × Molto utilizzati strumenti GIS di geostatistica



	Parameters	Definition
<b>Linear aspects</b>	Perimeter (P) (km)	
	Basin length (Lb) (km)	
	Stream order(Nu)	Strahler (1957)
	Stream length(Lu) (km)	Horton (1945)
	Bifurcation ratio(Rb)	$Rb=Nu/N(u+1)$ , Horton (1945)
	Stream lengthratio (RI)	$RI=Lu/L(u-1)$ , Horton (1945)
<b>Areal aspects</b>	Rho coefficient( R)	$R=RI/Rb$ , Horton (1945)
	Area (A) (km <sup>2</sup> )	
	Drainage density(Dd) (km km <sup>-2</sup> )	$Dd=\sum L_t/A$ , Horton (1945)
	Stream frequency(Fs) (km <sup>-2</sup> )	$F_s=N_t/A$ , Horton (1945)
	Drainage texture(T) (km km <sup>-4</sup> )	$T=Dd \times F_s$ , Smith (1950)
	Length of overland flow(Lg) (km)	$Lg=1/2Dd$ , Horton (1945)
	Constant of Channel maintenance(C) (km)	$C=1/Dd$ , Schumm(1956)
	Form factor (Ff)	$Ff=A/Lb^2$ , Horton (1945)
	Circularity ratio (Rc)	$Rc=4\pi A/P^2$ , Miller (1953)
	Elongation ratio (Re)	$Re=1.128\sqrt{A/Lb}$ , Schumm(1956)
<b>Relief aspects</b>	Basin relief (r) (km)	$R=H-h$ , Schumm (1956)
	Relief ratio (Rr)	$Rr= R/Lb$ , Schumm (1956)
	Ruggedness number (Rn)	$Rn=R \times Dd$ , Strahler (1958)
	Gradient ratio (Rg)	$Rg=Es-Em/Lb$ , Sreedevi et al. (2004)
	Melton ruggedness ratio (MRn)	$MRn=H-h/A^{0.5}$ , Melton (1965)

1.3	MEAN BIFURCATION RATIO	$R_{0n}$	$R_{0n} =$ AVERAGE OF BIFURCATION RATIO OF ALL ORDERS	STRAHLER AN AND CHOW VT (1964)
1.4	STREAM LENGTH	$L_{0i}$	LENGTH OF STREAM (KILOMETERS)	HORTON RE (1945)
1.5	MEAN STREAM LENGTH	LSM	$LSM=L_{0i}/N_{0i}$ WHERE, $L_{0i}$ = TOTAL STREAM LENGTH OF ORDER 'M' $N_{0i}$ = TOTAL NO. OF STREAM SEGMENTS OF ORDER 'M'	STRAHLER AN AND CHOW VT (1964)
1.6	STREAM LENGTH RATIO	$R_L$	$R_L=LSM/LSM-1$ WHERE, $LSM$ = MEAN STREAM LENGTH OF A GIVEN ORDER AND $LSM-1$ = MEAN STREAM LENGTH OF NEXT LOWER ORDER	HORTON RE (1945)
1.7	LENGTH OF OVERLAND FLOW	LG	$LG=1/2DKM$ WHERE, $D$ = DRAINAGE DENSITY ( $KM/KM^2$ )	HORTON RE (1945)
1.8	BASIN PERIMETER	P	P= OUTER BOUNDARY OF DRAINAGE BASIN MEASURED IN KILOMETERS.	SCHUMIN SA (1956)
1.9	BASIN LENGTH	$L_{0i}$	$L_{0i}=1.312 \times A^{0.568}$	SCHUMIN SA (1956)
<b>AREAL ASPECTS</b>				
2.1	BASIN AREA	A	AREA FROM WHICH WATER DRAINS TO A COMMON STREAM AND BOUNDARY DETERMINED BY OPPOSITE RIDGES.	STRAHLER AN AND CHOW VT (1964)
2.2	DRAINAGE DENSITY	$D_D$	$D_D=L_{0i}/A$ WHERE, $D_D$ = DRAINAGE DENSITY ( $KM/KM^2$ ) $L_{0i}$ = TOTAL STREAM LENGTH OF ALL ORDERS AND $A$ = AREA OF THE BASIN ( $KM^2$ ).	SINGH S AND SINGH MC (1997)
2.3	DRAINAGE FREQUENCY	$F_s$	$F_s=N_{0i}/A$ WHERE, $F_s$ = DRAINAGE FREQUENCY. $N_{0i}$ = TOTAL NO. OF STREAMS OF ALL ORDERS AND $A$ = AREA OF THE BASIN ( $KM^2$ ).	SINGH S AND SINGH MC (1997)
2.4	INFILTRATION NUMBER	$I_f$	$I_f=D_D \times F_s$ WHERE, $D_D$ = DRAINAGE DENSITY ( $KM/KM^2$ ) AND $F_s$ = DRAINAGE FREQUENCY.	ZAVOIANE I (1985)
2.5	DRAINAGE TEXTURE	$D_T$	$D_T=N_{0i}/P$ WHERE, $N_{0i}$ = NO. OF STREAMS IN A GIVEN ORDER AND P = PERIMETER ( $KMS$ )	HORTON RE (1945) AND PARETA K AND PARETA U (2011)
2.6	FORM FACTOR RATIO	$R_f$	$R_f=A/L_{0i}^2$ WHERE, $A$ = AREA OF THE BASIN AND $L_{0i}$ = ( MAXIMUM ) BASIN LENGTH	SINGH S AND SINGH MC (1997)
2.7	ELONGATION RATIO	$R_e$	$R_e=\sqrt{A}/l_{0i}/L_{0i}$ WHERE, $A$ = AREA OF THE BASIN ( $KM^2$ ) $L_{0i}$ = ( MAXIMUM ) BASIN LENGTH ( $KM$ )	SCHUMIN SA (1956)
2.8	CIRCULARITY RATIO	$R_c$	$R_c=4\pi A/P^2$ WHERE, $A$ = BASIN AREA ( $KM^2$ ) AND P= PERIMETER OF THE BASIN ( $KM$ )	SARMA ET AL. (2013)
<b>RELIEF ASPECTS</b>				
3.1	BASIN RELIEF	H	$H=Z-z$ WHERE, $Z$ = MAXIMUM ELEVATION OF THE BASIN ( M ) AND $z$ = MINIMUM ELEVATION OF THE BASIN ( M )	RUDRALAH ET AL. (2008)
3.2	RELIEF RATIO	$R_R$	$R_R=H/L_{0i}$ WHERE, $H$ = BASIN RELIEF ( M ) AND $L_{0i}$ = BASIN LENGTH ( M )	SCHUMIN SA (1956)
3.3	DISSECTION INDEX	$D_i$	$D_i=H/R_{0i}$ WHERE, $H$ = BASIN RELIEF ( M ) AND $R_{0i}$ = ABSOLUTE RELIEF ( M )	MAGESH ET AL. (2012)

Linear parameters	Morphometric Parameters	Formula/Definition	References
	Stream order (U)	Hierarchical order	<a href="#">Strahler, 1964</a>
	Stream Length ( $L_U$ )	Length of the stream	<a href="#">Horton, 1945</a>
	Mean stream length ( $L_{sm}$ )	$L_{sm} = L_u / N_u$ ; Where, $L_u$ = Mean stream length of a given order (km), $N_u$ = Number of stream segment.	<a href="#">Horton, 1945</a>
	Stream length ratio ( $R_L$ )	$R_L = L_u / L_{u-1}$ Where, $L_u$ = Total stream length of order (u), $L_{u-1}$ = The total stream length of its next lower order.	<a href="#">Horton, 1945</a>
	Bifurcation Ratio ( $R_b$ )	$R_b = N_u / N_{u+1}$ Where, $N_u$ = Number of stream segments present in the given order, $N_{u+1}$ = Number of segments of the next higher order	<a href="#">Schumm, 1956</a>
Relief parameters	Basin relief ( $B_h$ )	Vertical distance between the lowest and highest points of basin	<a href="#">Schumm, 1956</a>
	Relief Ratio ( $R_h$ )	$R_h = B_h / L_b$ Where, $B_h$ = Basin relief,	<a href="#">Schumm, 1956</a>

Sl. No.	Parameters	Formula	Type of parameters
1	Area	A	Geometric
2	Perimeter	P	Geometric
3	Basin length	$L_b$	Geometric
4	Stream length	L	Stream
5	No of streams of order U	Nu	Stream
6	Bifurcation ratio ( $R_b$ )	$R_b = Nu/N_{(u+1)}$	Morphometric
7	Drainage density ( $D_d$ )	$D_d = L/A$	Morphometric
8	Stream frequency (Fs)	$F_s = \sum Nu/A$	Morphometric
9	Drainage texture (T)	$T = D_d \times F_s$	Morphometric
10	Form factor ( $R_f$ )	$R_f = A/(L_b)^2$	Morphometric(basin shape)
11	Circularity Ratio ( $R_c$ )	$R_c = 4\pi A/P^2$	Morphometric(basin shape)
12	Elongation ratio ( $R_e$ )	$R_e = (2/L_b) \sqrt{(A/\pi)}$	Morphometric (basin shape)

# CRITERI MORFODINAMICI

---

- × Individuazione dello stato di attività di una forma o di un deposito rispetto ai processi morfogenetici che li hanno generati
- × Particolarmente utile in geomorfologia applicata e alla pianificazione territoriale, perché consente di avere un quadro dell'evoluzione futura dell'area, anche in termini di rischi, vulnerabilità, ecc.

- 
- × Forme attive (forme e depositi che attualmente si evolvono grazie allo stesso agente che ha determinato l'origine)
  - × Forme inattive (forme e depositi prodotti da agenti oramai esauriti, o legati a processi che richiederebbero modificazioni sostanziali delle condizioni ambientali), anche da interventi antropici

# FORME ATTIVE E INATTIVA



# VELOCITÀ DI ALCUNI PROCESSI

Processo	Esempio	Velocità
Espansione del fondo oceanico	Rift della Dorsale medio-atlantica	20 mm/a
Estensione della crosta continentale	Rift del Rio Grande	12 mm/a
Trascorrenza lungo placche trasformi	Faglia di San Andreas, California	50-60 mm/a
Sollevamento di fasce orogeniche	Pamir e Tiensian	80 mm/a
Sollevamento di margini continentali attivi	Golfo dell'Alaska	5-10 mm/a
Sollevamento epirogenetico	Settore sud America meridionale	2 mm/a
Sollevamento in aree vulcaniche attive	Campi Flegrei	fino a 1000 mm/a
Sollevamento isostatico per fusione di coltri glaciali	Scandinavia, ultimi 10000 anni	fino a 20 mm/a
Subsidenza in aree di deposizione attiva	Delta del Mississippi (Cenozoico)	0.2 mm/a
Subsidenza in aree adiacenti antiche coltri glaciali	Inghilterra sud-orientale	2 mm/a
Subsidenza per perdita di acqua nei sedimenti	Città del Messico (dal 1940)	fino a 180 mm/a
Subsidenza per estrazione di petrolio	Long Beach, California (1940-1974)	fino a 260 mm/a
Erosione delle masse continentali	media	0.01 mm/a
Erosione delle regioni montuose	media	0.09-0.8 mm/a
Erosione delle aree pianeggianti	media	0.01-0.1 mm/a
Deposizione in bacini intracratonici		0.02 mm/a
Deposizione di <i>löss</i>	Cina	0.07 mm/a
Deposizione di torba	Palude di Okefenokee, Georgia	0.8 mm/a
Deposizione di alluvioni nelle piane di esondazione	Fiume Mississippi (ultimi 30000 anni)	1 mm/a
Deposizione in laghi glaciali	Weistriztal, Sudeti	60-100 mm/a
Deposizione di sedimenti deltizi	Delta del Mississippi (ultimi 26500 anni)	8 mm/a
Deposizione su margini continentali passivi		fino a 0.1 mm/a
Deposizione in bacini legati alla subduzione		fino a 1 mm/a
Deposizione in bacini di <i>pull apart</i>		fino a 1 mm/a
Formazione di calcare in barriere coralline		1-10 mm/a
Deposizione di salgemma per evaporazione		10-50 mm/a
Deposizione in conoidi sottomarini	Rio delle Amazzoni	fino a 1.7 mm/a
Deposizione sul declivio continentale	Dorsale esterna delle Piccole Antille	0.06-0.3 mm/a
Sedimentazione in mari profondi interni	Mar Nero	0.1 mm/a
Migraz. laterale della linea di riva in aree di depos. attiva	Delta del Mississippi	0.1-2 m/a
Migraz. laterale della linea di riva in aree tettonicam. attive	Liguria	18 m/a
Migraz. laterale della linea di riva in aree tettonicam. stabili	Coste atlantiche degli Stati Uniti	0.8 m/a
Innalzam. del livello marino per espans. delle dorsali oceaniche		0.01 mm/a
Innalzam. del livello marino per fusione dei ghiacci pleistocenici		10 mm/a
Sollevamento di domi salini affioranti		1-5 mm/a
Sollevamento di batoliti granitici		20 mm/a
Risalita di magma	Kilauea, Hawaii, 1959	25000000 mm/a
Accrescimento di strutture vulcaniche	Cono di ceneri del Paracutin	50000 mm/a
Erosione antropica	Miniera di rame di Bingham Canyon	0.08 km <sup>3</sup> /a
Ritiro delle coltri glaciali pleistoceniche	Scandinavia, 10000-9000 anni B.P.	120-400 m/a
Movimento dei ghiacciai alpini		fino a 7.5 m/a

# FORME LEGATE AI PROCESSI DI VERSANTE

- ✘ Problematico parlare di esaurimento dell'agente morfogenetico prevalente, quindi vanno considerate anche altre condizioni (acclività, regime pluviometrico, ecc)

Tabella II.4.2.2. Classificazione della velocità di movimento di una frana.

<i>Velocità</i>	<i>Definizione</i>
3 m/secondo	rapidissima
0.3 m/minuto	molto rapida
1.5 m/giorno	rapida
1.5 m/mese	moderata
1.5 m/anno	lenta
6 m/secolo	molto lenta
	lentissima

# ATTIVITÀ NEL TEMPO

---

- × Continua, con microscatti di intensità comparabile, in tempi brevi (degradazione meteorica, dissoluzione carsica, creep, ecc);
- × Intermittente, a scatti, con periodi di quiescenza in genere lunghi, con fasi di attività più breve (forme tettoniche, sismiche, vulcaniche, alcuni movimenti gravitativi, sedimentazione alluvionale);
- × Alternata, evoluzione disomogenea, evoluzione lenta alternata a maggiore velocità (fiumi, calanchi, colate, soliflussi), anche con processi diversi dalle fasi di inattività
- × Attivazione unica, tipica dei fenomeni catastrofici)

# MODALITÀ DI ATTIVAZIONE O RIATTIVAZIONE

- × Attivazione improvvisa, crolli, scivolamenti, catture o deviazioni del letto del fiume, forme legate all'attività sismica, tettonica, vulcanica, antropica, ecc;
- × Attivazione graduale, dissoluzione carsica, ruscellamento diffuso, deflazione eolica, ecc;
- × Autoamplificazione, legato ad un progressivo incremento di intensità, come per ruscellamento, formazione di barcane, molti tipi di movimenti di massa.
- × Frequenza di riattivazione (per fenomeni con attività alternata)

# MODALITÀ DI DISATTIVAZIONE

---

- × Disattivazione graduale, con progressivo rallentamento dell'attività, fino alla stasi definitiva (crioclastismo con il migliorare del clima, movimenti di massa alla diminuzione dell'acclività)
- × Disattivazione improvvisa, di solito per eventi esterni, ad esempio, arresto dell'erosione fluviale in laghi di sbarramento di frana, abbandono di meandro, stabilizzazione artificiale)

# TEMPI DI RITORNO DEL PROCESSI DI RIATTIVAZIONE

---

- × Fenomeni ad attività continua
- × Fenomeni ad attività stagionale ( $t < 1$  anno)
- × Fenomeni ad attività frequente ( $1 < t < 10$  anni)
- × Fenomeni ad attività ricorrente a medio termine ( $10 < t < 100$  anni)
- × Fenomeni ad attività ricorrente a lungo termine ( $100 < t < 1000$  anni)
- × Fenomeni ad attività ricorrente a lunghissimo termine ( $t > 1000$  anni)
- × Fenomeni ad attivazione unica

# FORME O DEPOSITI INATTIVI

---

- × Forme (o depositi) relitti, che hanno cessato di evolversi (es. per esaurimento dell'agente morfogenetico principale), restando esposte all'azione di altri agenti esogeni;
- × Forme (o depositi) ereditati, ricoperte da depositi di origine differente che le hanno isolate dall'ambiente superficiale e dagli agenti morfogenetici operanti (legati a processi non più presenti)
- × Forme (o depositi) fossili, condizioni uguali alle precedenti, ma forme che possono essere modificate da agenti endogeni o fluidi nel sottosuolo. In seguito potranno essere riportate alla luce come forme fossili (riesumate).

# CRITERI MORFOCRONOLOGICI

---

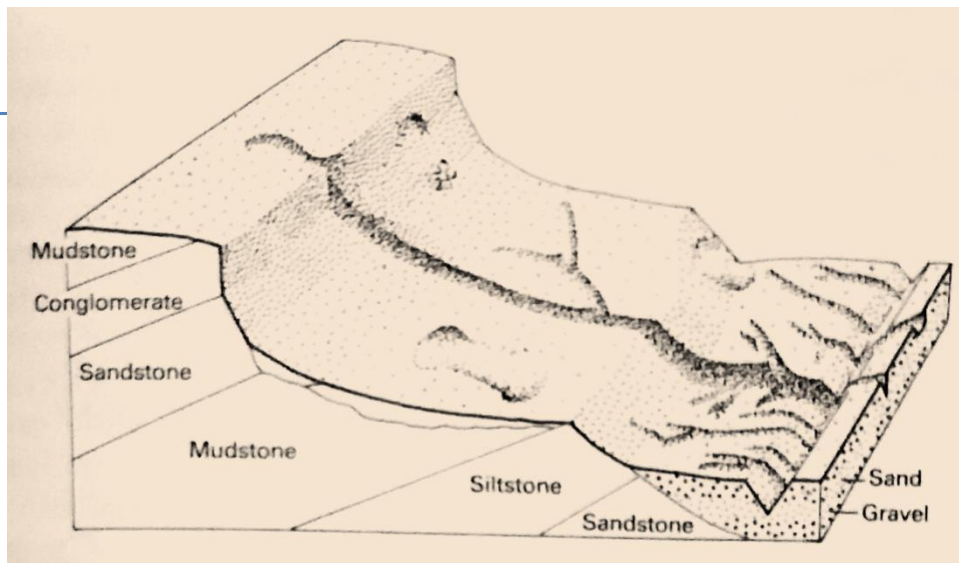
✘ Legato alla necessità di ricostruire l'evoluzione del rilievo nel tempo, anche in funzione previsionale. Di seguito, la tabella modificata da Panizza (1985):

- + Attuale (<200 anni);
- + Recente (200-4000 anni);
- + Olocene antico (4000-10000 anni);
- + Pleistocene superiore (125000-10000 anni)
- + Pleistocene medio (125000-750000 anni);
- + Pleistocene inf. (750 ka-1.8Ma);
- + Pre-Quaternario (>1.8 Ma);

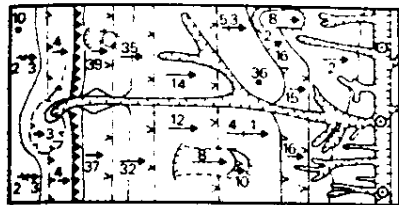
Oggi Pleistocene 2.58 Ma, si differenzia anche il Pleistocene sup (10.000-125.000 anni), ma ancora meglio con l'uso dei MIS (Maritime Isotope Stage)

# CRITRI MORFOMETRICI

Scala spaziale	Dimensioni		Esempi di forme				Fattori principali		Durata (anni)
	Lineari (km)	Areali (km <sup>2</sup> )	Endogene	Fluviali	Glaciali	Eoliche	Endogeni	Esogeni	
Micro	< 0.5	< 0.25	Piccole scarpate di faglia	Pozze e barre fluviali	Piccole creste moreniche	Increspature ( <i>ripples</i> ) di sabbia	Singoli terremoti ed eruzioni	Eventi meteorici, microclimi	10 <sup>1</sup>
Meso	0.5 - 10	0.25 - 10 <sup>2</sup>	Piccoli vulcani	Meandri	Piccole valli glaciali	Dune	Sollevamento e vulcanismo locali	Climi locali variazioni a breve termine	10 <sup>3</sup>
Macro	10 - 10 <sup>3</sup>	10 <sup>2</sup> - 10 <sup>6</sup>	Aree fagliate a blocchi	Piane alluvionali maggiori	Aree modellate da ghiacciai a scudo	Mari di sabbia	Sollevamento e subsidenza regionali	Climi regionali, climi glaciali	10 <sup>7</sup>
Mega	> 10 <sup>3</sup>	> 10 <sup>6</sup>	Principali catene montuose	Principali bacini idrografici	Aree modellate da calotte glaciali continentali	Grandi mari di sabbia	Serie a lungo termine di sollevamento e subsidenze	Principali zone climatiche, ere glaciali	> 10 <sup>7</sup>



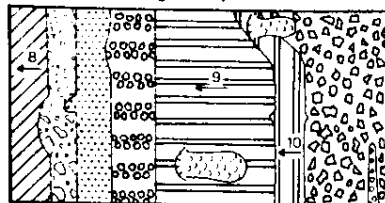
**A Morphological Morphometric map**



**Morphological mapping symbols**

- ∨ Convex break of slope
- ∩ Concave break of slope
- ∩ Convex change of slope
- ∩ Concave change of slope
- Slope direction and angle
- ∩∩∩ Cliff > 45°
- ∩∩∩ Convex and concave breaks of slope in close association
- Concave unit
- Convex unit
- Contours in metres
- Spot height
- ⊙ Depth of incision

**B Morphochronological map**



**Bedrock succession**

- Planation surface — mid-Tertiary
- Conglomerate
- Sandstone
- Mudstone (highly weathered)
- Siltstone — late Pleistocene valley incision

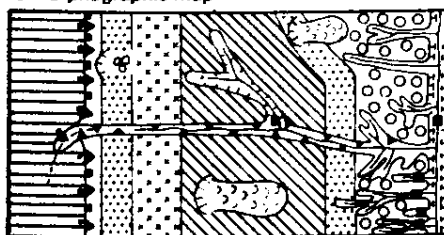
**Unconsolidated sediments**

- River terrace and infill — Devensian
- River sand (Recent)
- Angular boulders — intermixed recent gravel & sand

**Superficially disturbed**

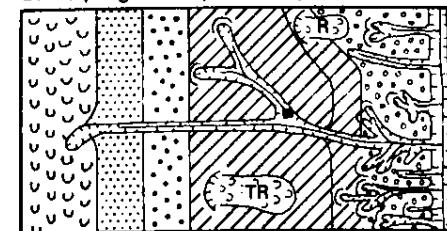
- Landslips — active
- Dip

**C Morphographic map**



- Planation surface
- Cuesta scarp face
- Rock wall
- Scree-debris slope
- Pediment
- River terrace and valley infill
- Incised valley-side slope
- Landlides
- Minor gully
- Spring
- Waterfall
- Permanent stream

**D. Morphogenetic/Dynamic map**



**Dominant Slope Forming Processes**

- Soil creep and throughflow on planation surface
- Frost weathering and rock fall from scarp
- Talus creep on scree debris
- Landslips on highly weathered mudstone — Active R Rotational TR Translational
- Potential instability on river terrace gravels
- Wash on terrace
- Gully erosion
- Actively eroding gully heads

---

Scale, tipologie, legende

# LA CARTOGRAFIA GEOMORFOLOGICA

# SCALE E PROFILI

---

- × Scale variabili da 1:1000 a oltre 1:1000000
- × Possono essere corredate da profili geomorfologici, in cui si evidenziano le fasi di sviluppo (es. terrazzi alluvionali, marini, dislocazioni tettoniche, ecc), anche corredate dalla geologia del substrato.

TABLE 2.5 Critical thresholds of slope steepness for some practical purposes

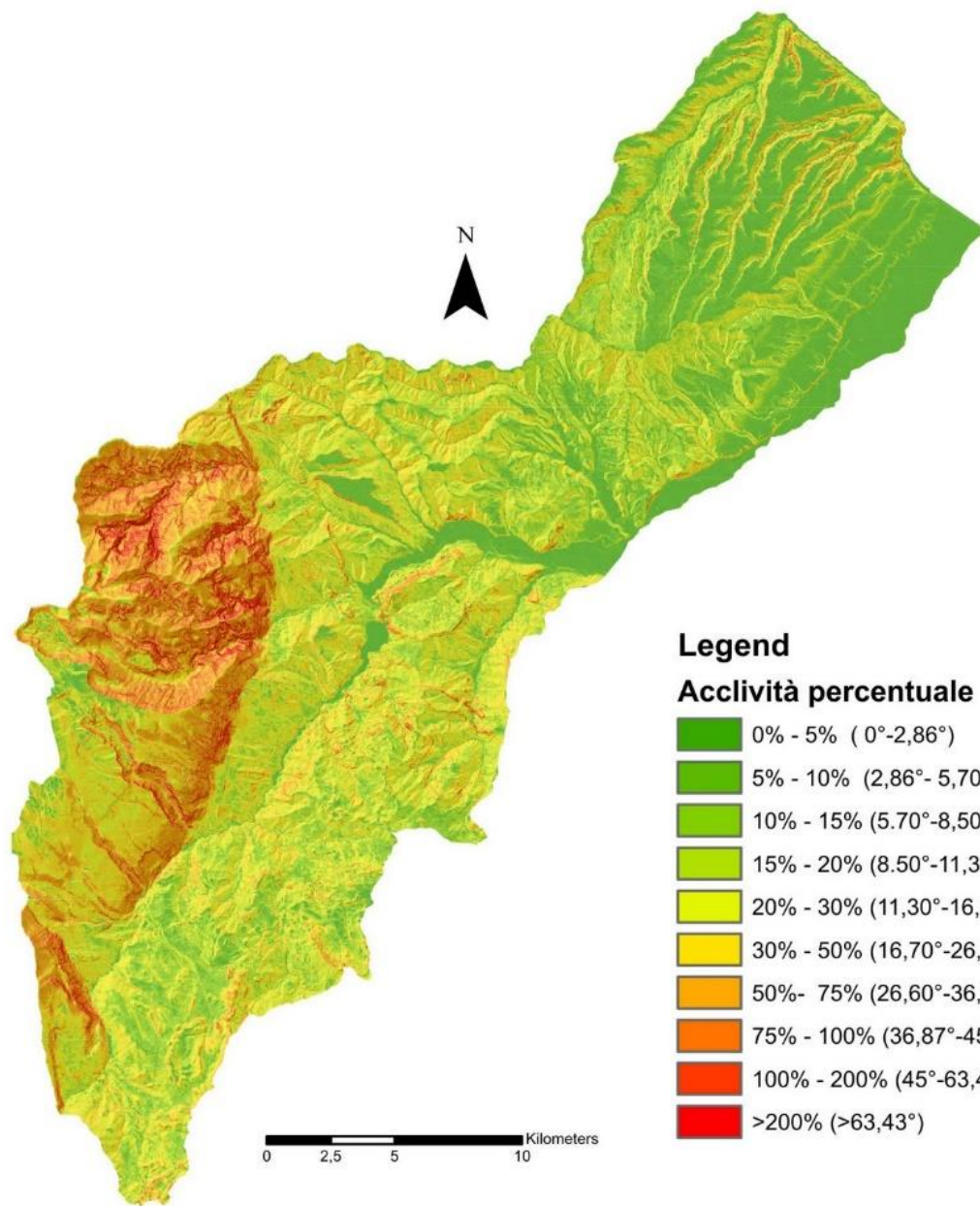
Slope threshold steepness (degrees)	Examples of uses limited by slope steepness <sup>a</sup>
1	International airport runways
1	Main-line rail transport
	Local aerodrome runways
	Free ploughing
2	Major roads
	Agricultural machinery for weeding and seeding
	Constructional (land development) problems begin
	Soil erosion may be initiated
3	Housing, roads
5	Railways
5	Heavy agricultural machinery
	Large-scale industrial site development
10	Site development
	Standard wheeled tractor

<sup>a</sup> Unless specially adapted equipment is used and the site is treated with particular regard to its steepness.

Source: Modified from Crofts (1973).

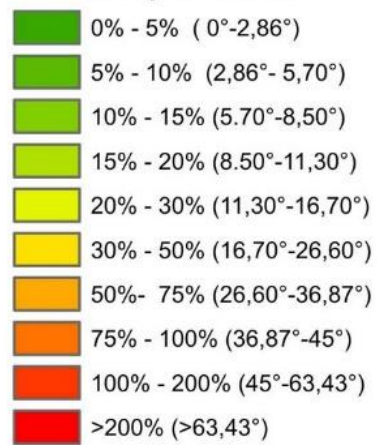
# TIPI DI CARTE E CARTE GEOMORFOLOGICHE

- × Carte di base (trasposizione grafica di osservazioni obiettive e sistematiche, es. da telerilevamento);
- × Carte derivate (ottenute da successive selezioni, generalizzazioni e rielaborazioni, con lo scopo di illustrare, ed effettuare zonazioni dei fenomeni geomorfologici)
- × Le geomorfologiche sono carte di base
- × Non vanno confuse con le carte tematiche , che prendono in esame singoli aspetti della geomorfologia (franosità, inondazioni, ecc)
- × Carte geoambientali (di sintesi, con informazioni geomorfologiche, geologiche, biologiche, ecc)



### Legend

#### Acclività percentuale



**Tabella I.3.4.2. Elenco delle carte aggiuntive più comunemente usate a corredo di carte geomorfologiche.**

<i>Tipo</i>	<i>Carta</i>
Geomorfologico	Unità geomorfologiche Neotettonica
Orografico	Fasce altitudinali Acclività dei versanti Esposizione dei versanti Modello ad ombre
Geologico	Litologia del substrato Zonazione litotecnica Assetto strutturale
Pedologico	Suoli
Idrologico ed idrogeologico	Permeabilità dei terreni Livelli piezometrici Reticolo idrografico Bacini idrografici
Climatico	Temperature Precipitazioni Venti Indici climatici
Vegetazionale	Vegetazione naturale Vegetazione potenziale
Antropico	Urbanizzazione Uso del suolo Reti tecnologiche

# LEGENDE GEOMORFOLOGICHE

---

- ✘ Varie legende (a carattere nazionale), differenti per contenuti, simbolismi alle diverse scale di lavoro;
- ✘ Molto complessa la sintesi dell'analisi di forme e processi in contesti diversi
- ✘ Stati di attività (attivo, quiescente, inattivo), indicate con sfumature di colore diverso
- ✘ Grafica della carta anche integrata con note, per non appesantire la lettura
- ✘ Geologia ridotta per favorire la lettura geomorfologica

---

# RILEVAMENTO SUL TERRENO

---

# TECNICHE DI RILEVAMENTO

---

- × Osservazione diretta sul terreno e telerilevamento (le indagini di campagna si riducono al diminuire della scala)
- × Le carte a grande scala sono quelle più utilizzate a livello professionale

# RILEVAMENTO SUL TERRENO

- × Osservazione sistematica sul terreno, analisi ed interpretazione delle forme e dei depositi superficiali, con particolare riferimento a quelli non visibili da telerilevamento
- × Stato di attività dei processi (es. copertura vegetale, danni a strutture antropiche, erosione, ecc)
- × Anche interviste ai residenti, indagini storiche, ecc.

## Activity

### *Pre-Mapping:*

- Identify region of interest
- Identify purpose or goal of mapping
- Obtain remote sensing data
- Obtain geological and soils mapping information
- Design and create a GIS database
- Compose a field mapping protocol
- Map major morphological forms using remote sensing data
- Create draft map at a suitable scale for field mapping
- Prepare legend systems and symbols
- Obtain permission for access to the mapping region
- Conduct risk assessment for the planned activities
- Obtain weather forecast

### *During the field campaign:*

- Conduct field mapping following the protocol, including walking the area
- Use hand-held GPS to mark tracks or waypoints
- Write notes and take photos, positioned using GPS
- Adhere to health and safety issues and/or update the risk assessment

### *Post-Mapping:*

- Download and integrate GPS data with the existing GIS database
- Compare field and remote sensing mapping in order to validate remotely sensed observations
- Write up notes and integrate notes with photos
- Produce final geomorphological map in the GIS software
- Draw final map using analogue or digital cartographic symbols either using the GIS software, or graphic design software
- Write and present explanatory notes accompanying the map
- Publish the map

# ELEMENTI DA CONSIDERARE (PANIZZA, 1988)

- × **Pericolosità ambientale**, probabilità che un certo fenomeno naturale o indotto più o meno direttamente dall'antropizzazione si verifichi in un certo territorio, in un certo intervallo di tempo;
- × **Pericolosità geomorfologica**, probabilità che un certo fenomeno di instabilità geomorfologica (legato a simili fenomeni precedenti) si verifichi in un certo territorio in un certo intervallo di tempo;
- × **Vulnerabilità territoriale**, l'insieme complesso della popolazione, delle costruzioni, delle infrastrutture, delle attività economiche, dell'organizzazione sociale e dei programmi di espansione di un certo territorio;
- × **Rischio ambientale**, probabilità che le conseguenze economiche e sociali di un certo fenomeno di pericolosità superino una determinata soglia

# NOTE

---

- × Nelle note informazioni aggiuntive, magari su elementi che non era possibile inserire nella carta a causa della scala, informazioni su eventuali date, ecc
- × Eventualmente carte derivate, come stabilità dei versanti, zonazione sismica, ecc

# COSA INSERIRE NELLA RELAZIONE GEOMORFOLOGICA?

---

- × Nella relazione geomorfologica viene descritto il paesaggio, vengono descritte le forme del rilievo, le dimensioni, e la loro dinamica considerando l'effetto della struttura, i processi esogeni ed endogeni, l'evoluzione del rilievo, la distribuzione spaziale delle forme e le associazioni delle forme:
  
- × Di seguito i punti da analizzare:
  - + Il bacino idrografico e le aste fluviali;
  - + Le caratteristiche idrologiche;
  - + Le caratteristiche dei versanti;
  - + La presenza di forme particolari;
  - + I processi attivi, inattivi, quiescenti.

---

# RILEVAMENTO DEL SUBSTRATO

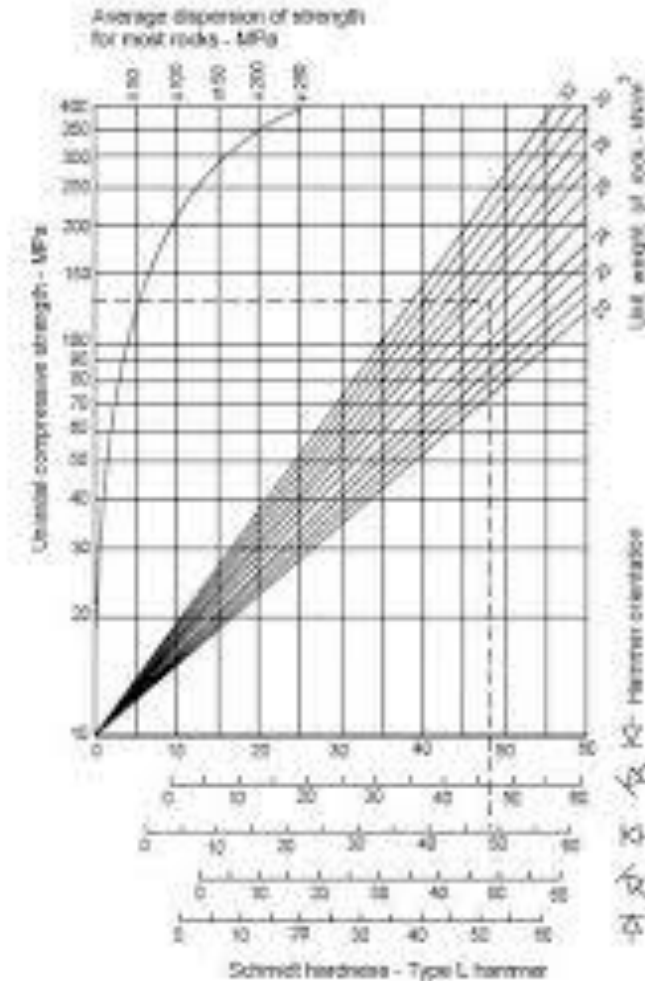
---

# GEOLOGIA DEL SUBSTRATO

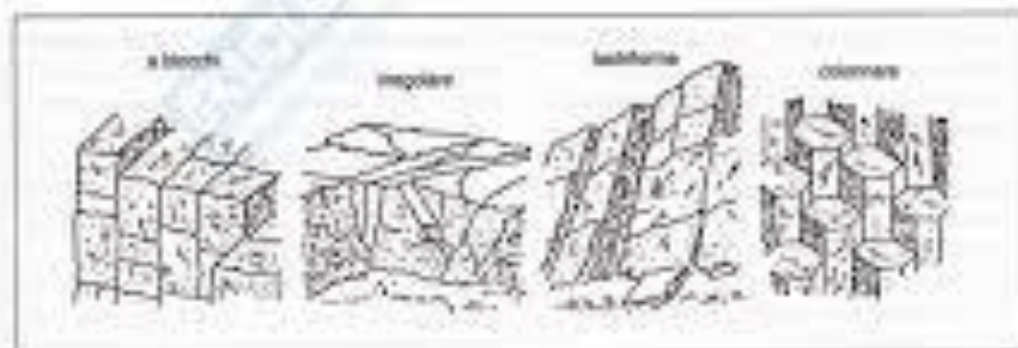
---

- × Rilevamento per ridefinire le formazioni affioranti in funzione della loro influenza sulla morfogenesi;
- × Il rilievo integra la base geologica disponibile

# RELAZIONE TRA DUREZZA DI SCHMIDT E RESISTENZA ALLA COMPRESSIONE UNIASSIALE (CANUTI ET AL., 1992)

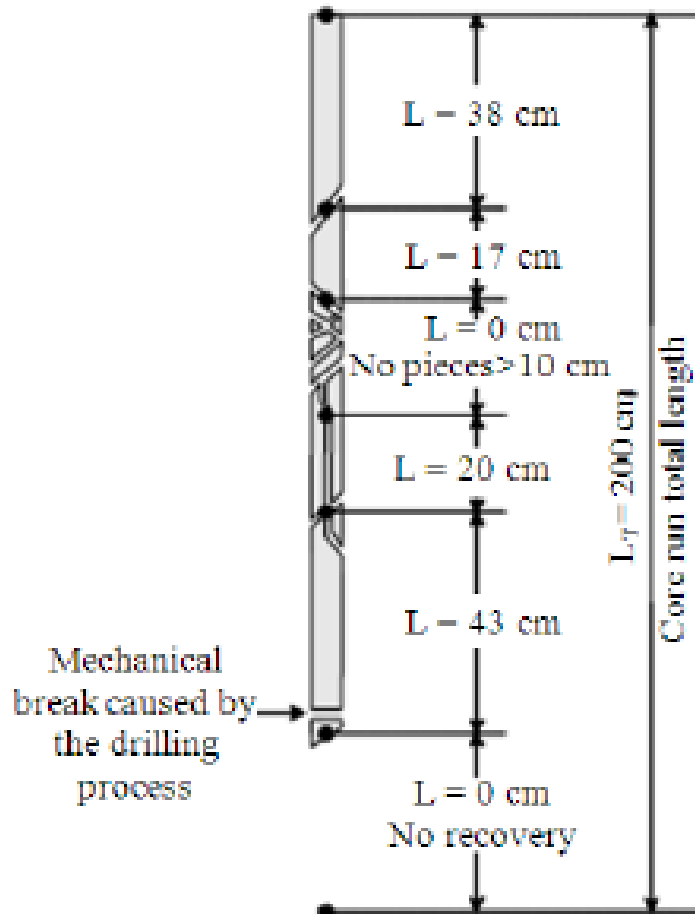


## Tipologie di ammasso roccioso



- 1) **A blocchi**: due sistemi di discontinuità circa ortogonali equispaziati (ortotropia);
- 2) **Irregolare**: almeno tre sistemi di discontinuità non ortogonali;
- 3) **Tabulare**: due sistemi di discontinuità ortogonali uno dei quali molto più spaziato dell'altro;
- 4) **Colonnare**: isolamento di colonne a sezione circa esagonale ovvero due sistemi di discontinuità ortogonali con spaziatura molto differenziata.

# RQD



$$RQD = \frac{\sum \text{rock pieces} \geq 10 \text{ cm}}{\text{Core run total length}} \times 100 (\%)$$

$$RQD = \frac{38+17+0+20+43+0}{200} \times 100 (\%)$$

$$RQD = 59\% \text{ (FAIR)}$$

RQD (%)	Geotechnical quality
<25	Very poor
25-50	Poor
50-75	Fair
75-90	Good
90-100	Excellent

**Table 2** Most important existing rock mass classification systems

Name of the system	Abbreviation	Authors	Application	Comments
Rock load	-	Terzaghi (1946)	Tunnels	The earliest reference to the use of rock mass classification for the design of tunnel support.
Stand-up time	-	Laufer (1985)	Tunnels	Related to the stand-up time of an unsupported tunnel excavation
Rock Quality Designation	RQD	Deere (1963)	General	Component factor of many classification systems.
Rock Structure Rating	RSR	Wickham et al. (1972)	Small tunnels	First rating system for rock masses.
Rock Tunneling Quality Index	Q	Barton et al. (1974)	Tunnels	They are the most commonly used classification systems for tunnels. A raw rating adjustment for discontinuity orientation
Rock Mass Rating	RMR	Bieniowski (1973, 1976, 1979 and 1989)	Tunnels and cuttings	For application in slopes was added in the 1979 version of the RMR system.
Mining Rock Mass Rating	MRMR	Laubscher (1997)	Mines	Based on RMR (1973).
Slope Mass Rating	SMR	Romana (1985). Romana et al. (2003)	Cuttings	Based on RMR (1979). The most commonly used classification system for slopes
Slope Rock Mass Rating	SRMR	Robertson (1988)	Cuttings	Based on RMR. The classification is provided for of weak altered rock mass materials from drill-hole cores.
Chinese Slope Mass Rating	CSMR	Chen (1995)	Cuttings	Adjustment factors have been applied to the SMR system for the discontinuity condition and slope height.
Geological Strength Index	GSI	Hoek et al. (1995)	General	Based on RMR (1976).

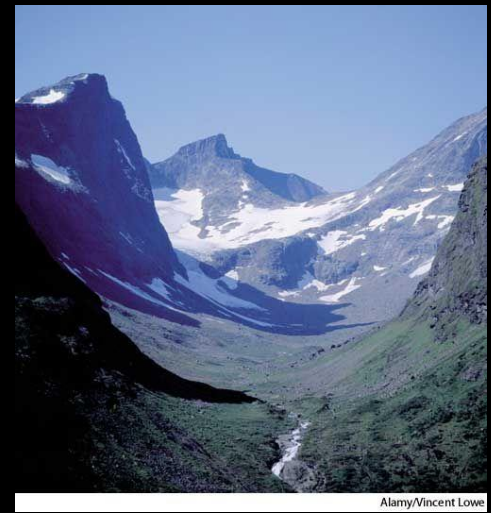
**TABLE 6.10** Soil Classification for Organic Soil

Major divisions	Organic content	USCS symbol	Typical names	Distinguishing characteristics for visual identification	Typical range of laboratory test results
Organic matter	75 to 100% Organics (Either visible or inferred)	PT	Fibrous peat (woody, mats, etc.)	Light weight and spongy. Shrinks considerably on air drying. Much water squeezes from sample.	$w = 500$ to $1200\%$ $\gamma_t = 9.4$ to $11 \text{ kN/m}^3$ (60 to 70 pcf) $G = 1.2$ to $1.8$ $C_c/(1 + e_o) \geq 0.40$
		PT	Fine-grained peat (amorphous)	Light weight and spongy. Shrinks considerably on air drying. Much water squeezes from sample.	$w = 400$ to $800\%$ PI = 200 to 500 $\gamma_t = 9.4$ to $11 \text{ kN/m}^3$ (60 to 70 pcf) $G = 1.2$ to $1.8$ $C_c/(1 + e_o) \geq 0.35$
Highly organic soils	30 to 75% Organics (Either visible or inferred)	PT	Silty peat	Relatively light weight, spongy. Shrinks on air drying. Usually can readily squeeze water from sample.	$w = 250$ to $500\%$ PI = 150 to 350 $\gamma_t = 10$ to $14 \text{ kN/m}^3$ (65 to 90 pcf) $G = 1.8$ to $2.3$ $C_c/(1 + e_o) = 0.3$ to $0.4$
		PT	Sandy peat	Sand fraction visible. Shrinks on air drying. Often a "gritty" texture. Usually can squeeze water from sample.	$w = 100$ to $400\%$ PI = 50 to 150 $\gamma_t = 11$ to $16 \text{ kN/m}^3$ (70 to 100 pcf) $G = 1.8$ to $2.4$ $C_c/(1 + e_o) = 0.2$ to $0.3$
Organic soils	5 to 30% organics (Either visible or inferred)	OH	Clayey organic Silt	Often has strong hydrogen sulfide ( $\text{H}_2\text{S}$ ) odor. Medium dry strength and slow dilatency.	$w = 65$ to $200\%$ PI = 50 to 150 $\gamma_t = 11$ to $16 \text{ kN/m}^3$ (70 to 100 pcf) $G = 2.3$ to $2.6$ $C_c/(1 + e_o) = 0.2$ to $0.35$
		OL	Organic sand or Silt	Threads weak and friable near plastic limit, or will not roll at all. Low dry strength, medium to high dilatency.	$w = 30$ to $125\%$ PI = NP to 40 $\gamma_t = 14$ to $17 \text{ kN/m}^3$ (90 to 110 pcf) $G = 2.4$ to $2.6$ $C_c/(1 + e_o) = 0.1$ to $0.25$
Slightly organic soils	Less than 5% organics	Use Table 6.8	Soil with slight organic fraction	Depends on the characteristics of the inorganic fraction.	Depends on the characteristics of the inorganic fraction.

Source: NAVFAC DM-7.1, 1982, based on unpublished work by Ayers and Plum.

Notes:  $w$  = in-situ water content, PI = plasticity index, NP = nonplastic,  $\gamma_t$  = total unit weight,  $G$  = specific gravity (soil minerals plus organic matter),  $C_c$  = compression index,  $e_o$  = initial void ratio, and  $C_c/(1 + e_o)$  = modified compression index.

# RILEVAMENTO DELLE FORME



# RILEVAMENTO DELLE FORME SUL TERRENO

---

- × Rilevamento delle forme che interrompono la regolarità dei versanti e delle scarpate, ripiani, in generale forme singolari
- × Rilevamento a partire dal generale verso il particolare
- × Misure delle forme (con strumenti come distanziometri laser, altimetri, fotogrammetria, terrestre, ecc)
- × Distinzione sulla carta dei limiti certi ed ipotetici delle forme
- × Documentazione fotografica



Sauris di Sotto



Image © 2021 European Space Imaging  
Image © 2021 Maxar Technologies  
Image © 2021 CNES / Airbus

Google Earth

Lat 46.493551° Lon 12.549598° elev 1350 m alt 31.72 km

# ESEMPI

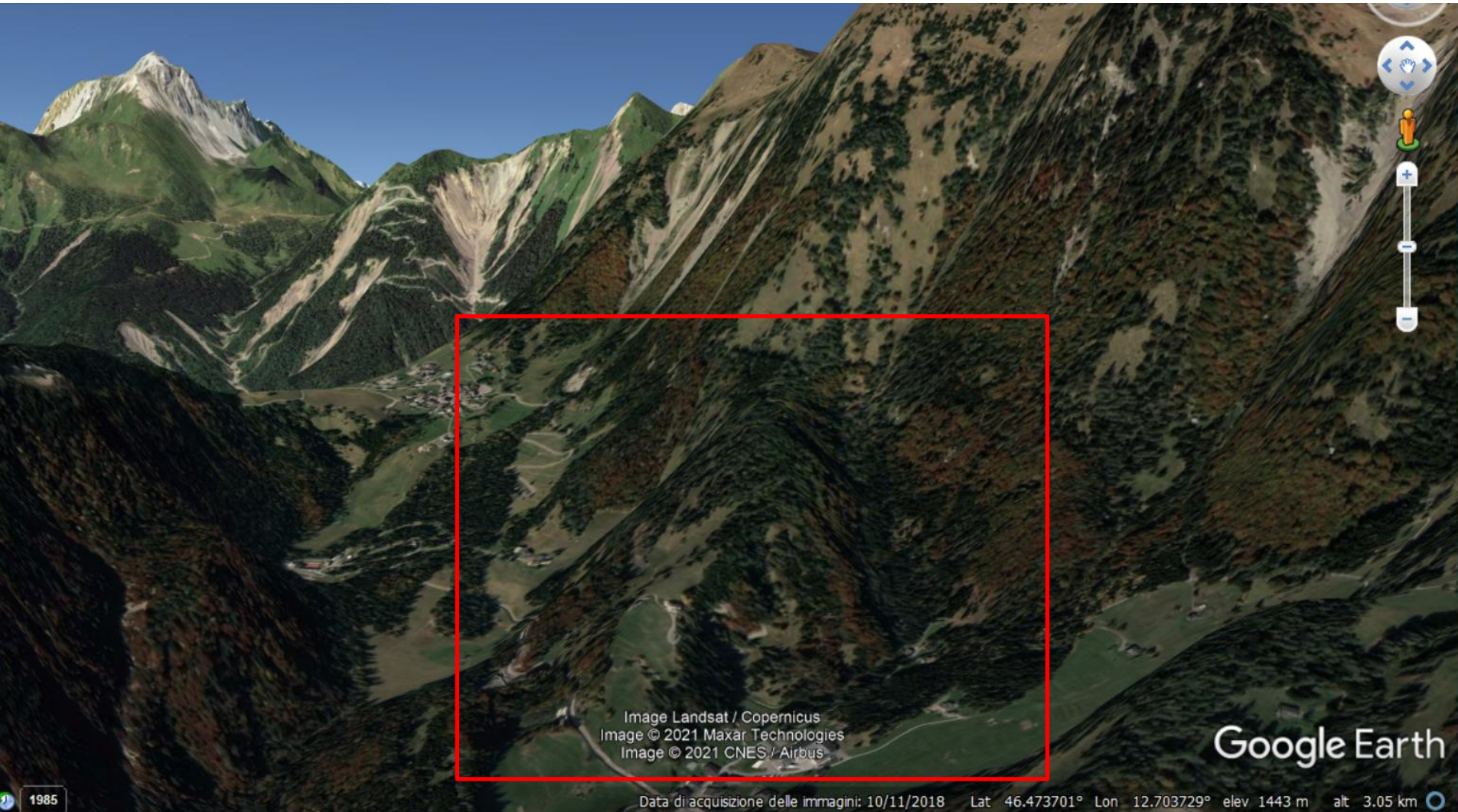


Image Landsat / Copernicus  
Image © 2021 Maxar Technologies  
Image © 2021 CNES / Airbus

Google Earth

1985

Data di acquisizione delle immagini: 10/11/2018 Lat 46.473701° Lon 12.703729° elev 1443 m alt 3.05 km

# STATO DI ATTIVITÀ

---

- × Non è sempre semplice determinare sul terreno lo stato di attività di una forma, perché in particolare per ciò che riguarda le forme ad attività intermittente, con ricorrenze a medio-lungo termine, non permettono di quantificare con sicurezza tempi di ritorno.

# STATO DI ATTIVITÀ

---

- × Percezione, registrazione e ricostruzione dello stato di attività
- × Osservazioni dirette e testimonianze
- × Descrizione dello stato di attività
- × Misurazione sul terreno dell'intensità e velocità dei processi

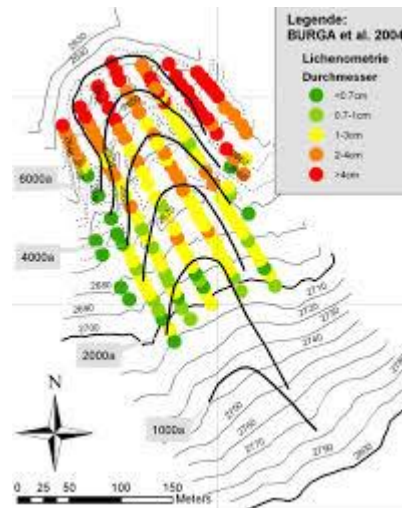
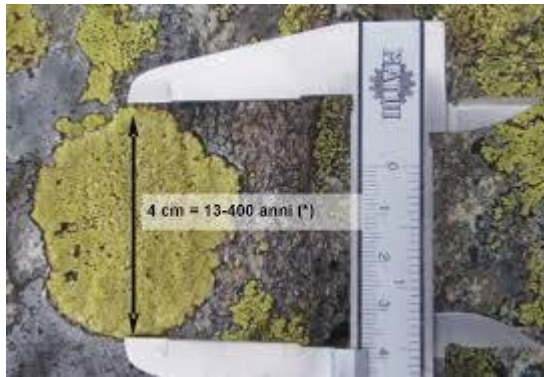
# DETERMINAZIONI MORFOCRONOLOGICHE

- ✘ Solitamente l'inquadramento morfologico delle forme si basa sui depositi superficiali associati.
- ✘ Comunque, i dati cronologici ottenibili da un deposito non sono direttamente riferibili alla forma, in quanto quest'ultima può essere anche molto più antica
- ✘ Solitamente si parla di upper limit (o lower limit), o *ante quem*, o *post quem*.

- 
- × Le forme devono comunque essere inquadrare all'interno di morfosequenze sulla base di considerazioni sui reciproci rapporti spaziali.
  - × Informazioni da inclinazione, presenza di scarpate, gradini, depositi vulcanici, ecc.
  - × Valutazioni quantitative su grado di alterazione (es. Martello di Schmidt)

# DATAZIONI ASSOLUTE

- ✘ Principali metodi sono rappresentati dalla lichenometria e dalla dendrocronologia, indagini storiche



---

# RILEVAMENTO DEI DEPOSITI SUPERFICIALI

# METODI DI INDAGINE

---

- × Analisi sistematica dei depositi superficiali e delle loro caratteristiche sedimentologiche e stratigrafiche in rapporto alla genesi ed all'evoluzione delle forme di rilievo
- × Vanno rilevati tutti i depositi, ricercandoli nelle zone più favorevoli (terrazzi alluvionali, fondi valle, piedi di versante, depressioni tettoniche, ripiani orografici, ecc).
- × Vanno ricercati anche in profondità (trincee e sondaggi)
- × Campo di studio della Geologia del QUATERNARIO

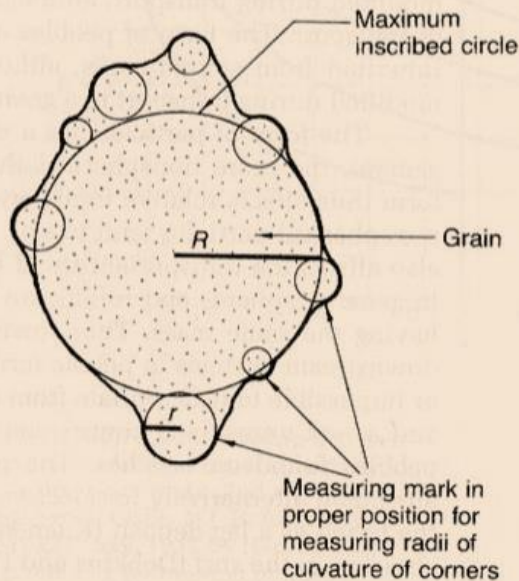


**Tabella II.5.3.1. Elenco dei dati che dovrebbero essere raccolti nel corso del rilevamento (basato su PASQUARÈ *et al.*, 1991).**

- natura (erosionale o deposizionale) delle superfici limitanti le unità;
- estensione delle superfici limitanti le unità;
- persistenza delle superfici limitanti le unità;
- morfologia delle superfici limitanti le unità;
- condizioni di affioramento delle unità sulle quali sono modellate le superfici di delimitazione;
- alteriti e suoli presenti in corrispondenza delle superfici limitanti le unità;
- litologia del corpo sedimentario delimitato;
- variazioni laterali di facies del corpo sedimentario delimitato;
- granulometrie;
- tessiture;
- strutture sedimentarie;
- petrografia dei clasti;
- mineralogia dei granuli;
- geometria delle unità;
- potenze (massima, minima, reale o conservata);
- distribuzione degli affioramenti principali;
- elementi indiretti di riferimento cronologico (rapporti geometrici con le altre unità);
- rapporti con le unità sottostanti e sovrastanti;
- descrizione delle coperture (depositi sottili più superficiali di età recente o attuale).

# SFERICITÀ E ARROTONDAMENTO

Arrotondamento: caratteristica morfologica relativa al grado di smussamento degli spigoli di una particella clastica



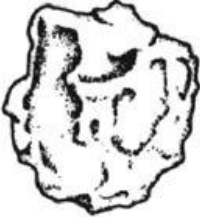
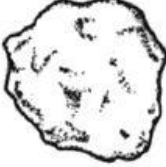
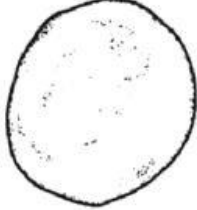
Wadell (1932): arrotondamento = media aritmetica del grado di arrotondamento dei singoli spigoli nel piano di misurazione

- il grado di arrotondamento dei singoli spigoli è determinato dal rapporto tra raggio di curvatura dei singoli spigoli ( $r$ ) ed il raggio di curvatura della massima circonferenza che include il clasto ( $R$ )

$R_w = \sum (r/R) / N$  ovvero  $\sum(r) / RN$  dove  $N$  è il numero di spigoli

# ARROTONDAMENTO

Stima visuale della sfericità ed arrotondamento

High sphericity						
Low sphericity						
	Very angular	Angular	Subangular	Subrounded	Rounded	Well rounded

Millimeters (mm)	Micrometers ( $\mu\text{m}$ )	Phi (f)	Wentworth size class		Rock type
4096		-12.0	Boulder	Gravel	Conglomerate/ Breccia
256		-8.0	Cobble		
64		-6.0	Pebble		
4		-2.0	Granule		
2.00		-1.0	Very coarse sand		
1.00		0.0	Coarse sand	Sand	Sandstone
1/2	500	1.0	Medium sand		
1/4	250	2.0	Fine sand		
1/8	125	3.0	Very fine sand		
1/16	63	4.0	Coarse silt		
1/32	31	5.0	Medium silt	Silt	Siltstone
1/64	15.6	6.0	Fine silt		
1/128	7.8	7.0	Very fine silt		
1/256	3.9	8.0	Clay	Mud	Claystone
0.00006	0.06	14.0			

# CARATTERISTICHE SEDIMENTOLOGICHE DEI DEPOSITI

- × Composizione litologica delle particelle
- × Granulometria
- × Morfologia delle particelle
- × Disposizione dei clasti e struttura

# ANALISI STRATIGRAFICA DEI DEPOSITI

- ✘ Unità morfostratigrafiche ed allostratigrafiche
- ✘ Assetto giaciturale e sezioni stratigrafiche

Spessore dei livelli (cm)

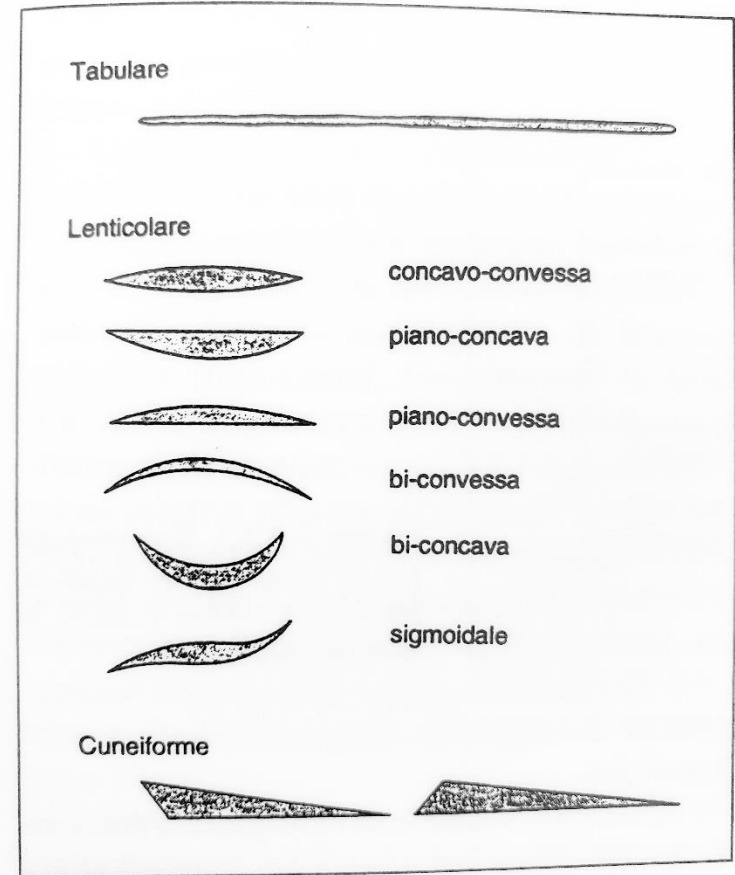
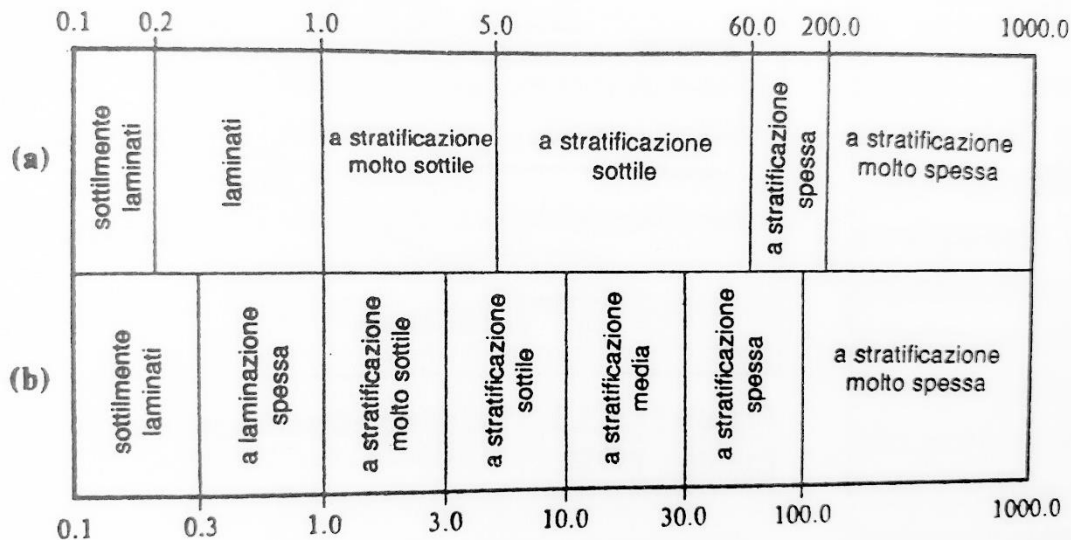


Figura II.5.3.1. Geometria degli strati (da RICCI LUCCHI, 1978).

# SUOLI E PALEOSUOLI

---

- × Sono indicativi di periodi più o meno lunghi di relativa stabilità (biostasia) che tendono a mettersi in equilibrio con le condizioni climatiche
- × Quando cambiano nuovamente le condizioni, il suolo (paleosuolo) può subire degradazione, erosione o seppellimento sotto coperture detritiche

# DESCRIZIONE DEL SUOLO

- × La struttura del suolo (o paleosuolo) dovrà essere descritta in termini di forma, dimensioni, grado di sviluppo e distribuzione spaziale degli aggregati, pori e discontinuità, figure pedogenetiche (noduli, concrezioni e pellicole, costituiti da argilla, ossidi metallici, sostanza organica, ecc)
- × La consistenza si descrive sulla base della resistenza, adesività, cementazione, plasticità, dipendente dalla quantità di acqua.
- × La presenza di reperti archeologici, fossili, legni, ecc, può dare indicazioni sull'età, anche con valutazioni palinologiche.

Tabella II.5.4.4. Descrizione del grado di cementazione dei suoli (tradotto e leggermente modificato da GARDINER & DACKOMBE, 1983).

<i>Termine</i>	<i>Descrizione</i>
Non cementato	Diventa fango dopo un'immersione in acqua di 1 ora.
Molto debolmente cementato	Può essere rotto con una forza di non più di 80 N.
Debolmente cementato	Può essere rotto con una forza di non più di 800 N.
Fortemente cementato	Può essere spezzato da un urto di 3J.
Molto fortemente cementato	Non può essere spezzato da un urto di 3J.

# ORIZZONTI COSTITUENTI I SUOLI (DRAMIS & BISCOI)

## **Lettieria**

L Materiale organico fresco depositato durante il ciclo annuale precedente

## **Orizzonti organici**

F Lettieria parzialmente decomposta in cui sono ancora visibili ad occhio nudo alcune strutture vegetali

H Lettieria ben decomposta, spesso mescolata a materiale minerale

O Orizzonti torbosi accumulati in condizioni umide

Of Torba fibrosa

Om Torba semifibrosa

Oh Torba amorfa

Op Torba mescolata dalla coltivazione

## **Orizzonti inorganici**

A Presenta materia organica umificata e/o disturbo da coltivazioni

Ah Non coltivato

Ap Mescolato da pratiche agricole

E Più chiaro e con minor contenuto organico

Ea Senza chiazze o noduli ferruginosi

Eb Colore brunastro dovuto ad ossidi di ferro omogeneamente distribuiti

B Assenza di strutture litologiche, concentrazione da illuviazione di argille, ferro, alluminio o umus, e/o alterazione del materiale originario

Bf Ben definito, arricchito in ferro e carbonio, da nero a bruno-rossiccio, fragile, spesso meno di 5 mm

Bh Arricchito in materia organica proveniente dagli strati superiori

Bs Arricchito in sesquiossidi

Bt Arricchito in argilla presente come ricoperture (*coats*) e concrezioni tra i *peds*

Bw Meteorizzazione, *leaching* o riorganizzazione strutturale *in situ*

C Non consolidato o poco consolidato, mantiene alcune caratteristiche della struttura rocciosa e/o manca delle caratteristiche dei livelli precedenti

Cu Generalmente non stratificato o senza *peds*, nessuna evidenza di forte riduzione (*gley*)

Cr Substrato poco alterato, debolmente consolidato, abbastanza coerente da impedire la penetrazione di radici

Ck Contiene concrezioni, coperture o noduli di  $\text{CaCO}_3$

Cy Mostra accumulo secondario di gesso

R Substrato solamente fratturato

# CAMPIONATURE

- × Campionature mirate (puntuali)
- × Campionature random

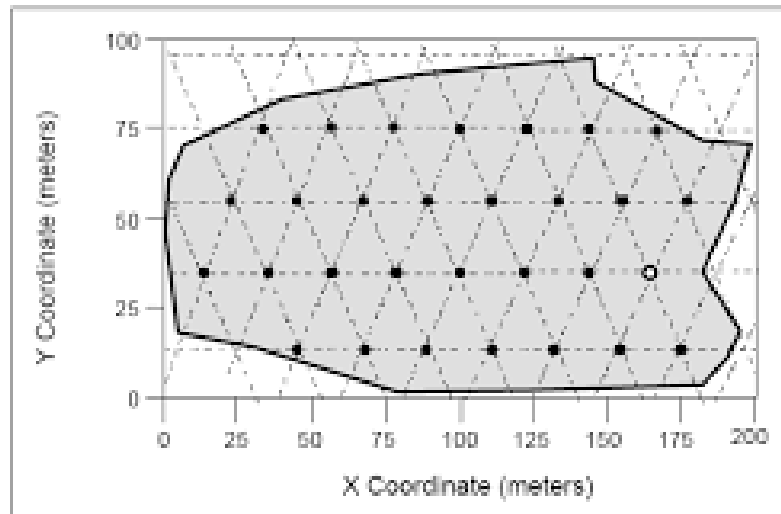


Figure 7-4. Map of an Area to Be Sampled Using a Triangular Sampling Grid

# METODI DI DATAZIONE PER IL QUATERIARIO

		<i>Metodo</i>
Numerici	Annuali	Ricerche storiche Dendrocronologia Varve
	Radiometrici	Carbonio 14 Serie dell'Uranio Potassio-Argon Tracce di fissione
	Altri radiologici	<i>Uranium trend</i> Termoluminescenza e risonanza elettronica Isotopi cosmogenetici

Relativi	Processi semplici	Racemizzazione degli AA Idratazione dell'ossidiana Idratazione dei <i>tephra</i> Lichenometria
Correlativi	Processi complessi	Sviluppo dei suoli Meteorizzazione Variazioni delle forme Tasso di deposizione Posizione geomorfologica e tasso di incisione Tasso di deformazione
	Correlazioni	Stratigrafia Tefrocronologia Paleomagnetismo Paleontologia Archeologia Isotopi stabili Tectiti e microtectiti

---

# LAND SYSTEM MAPPING

---

# CLASSIFICAZIONE TERRITORIALE

---

- × La cartografia è basata sul riconoscimento di «land systems» (Is) che contengono attributi comuni diversi dalle aree adiacenti
- × Un land system varia, in termini di scala, da qualche decina di km a centinaia di km
- × Entro un Is c'è di solito un pattern topografico, di suolo o vegetazionale ricorrente

# LAND SYSTEM

---

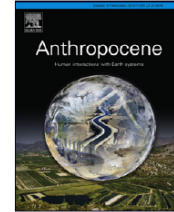
- × Una carta Is definisce le aree entro determinate combinazioni probabili di forme superficiali e i suoli e vegetazione associati
- × In pratica, a partire dalla topografia, vengono aggiunte altre caratteristiche attraverso la cosiddetta «landform analysis»
- × Ogni Is è suddivisibile in componenti più piccole, dette unità territoriali.



Contents lists available at [ScienceDirect](https://www.sciencedirect.com)

# Anthropocene

journal homepage: [www.elsevier.com/locate/ancene](http://www.elsevier.com/locate/ancene)



## Land system science and sustainable development of the earth system: A global land project perspective



Peter H. Verburg<sup>a,\*</sup>, Neville Crossman<sup>b</sup>, Erle C. Ellis<sup>c</sup>, Andreas Heinemann<sup>d</sup>,  
Patrick Hostert<sup>e</sup>, Ole Mertz<sup>f</sup>, Harini Nagendra<sup>g</sup>, Thomas Sikor<sup>h</sup>, Karl-Heinz Erb<sup>i</sup>,  
Nancy Golubiewski<sup>j</sup>, Ricardo Grau<sup>k</sup>, Morgan Grove<sup>l</sup>, Souleymane Konaté<sup>m</sup>,  
Patrick Meyfroidt<sup>n</sup>, Dawn C. Parker<sup>o</sup>, Rinku Roy Chowdhury<sup>p</sup>, Hideaki Shibata<sup>q</sup>,  
Allison Thomson<sup>r</sup>, Lin Zhen<sup>s</sup>

<sup>a</sup> Environmental Geography Group, VU University Amsterdam, de Boelelaan 1087, 1081 HV Amsterdam, The Netherlands

<sup>b</sup> CSIRO Land and Water, Private Bag 2, Glen Osmond, SA 5064, Australia

<sup>c</sup> Department of Geography and Environmental Systems, University of Maryland, Baltimore County, Baltimore, MD 21250, USA

<sup>d</sup> Centre for Development and Environment (CDE) and Institute of Geography, University of Bern, Hallerstrasse 10, 3012 Bern, Switzerland

<sup>e</sup> Geography Department and Integrative Research Institute on Transformations of Human-Environment Systems (IRI THESys), Humboldt-Universität zu Berlin, Berlin, Germany

<sup>f</sup> Department of Geosciences and Natural Resource Management, University of Copenhagen, Copenhagen, Denmark

<sup>g</sup> School of Development, Azim Premji University, Bangalore, India

<sup>h</sup> School of International Development, University of East Anglia, Norwich, UK

<sup>i</sup> Institute of Social Ecology Vienna (SEC), Alpen Adria University Klagenfurt-Vienna-Graz, Schottenfeldgasse 29, A-1070 Vienna, Austria

<sup>j</sup> Ministry for the Environment—Manatu Mo Te Taiao, 23 Kate Sheppard Place, P.O. Box 10362, Wellington 6143, New Zealand

<sup>k</sup> Instituto de Ecología Regional, Universidad Nacional de Tucumán-CONICET, CC 34 (4107), Yerba Buena, Tucumán, Argentina

<sup>l</sup> Northern Research Station, USDA Forest Service, 5200 Westland Blvd. TRC 171, Baltimore, MD 21227, USA

<sup>m</sup> IUCN—Central and West Africa, University of Abobo-Adjame, UFR-SN/CRE, 02 BP 801, Abidjan 02, Cote d'Ivoire

<sup>n</sup> F.R.S—FNRS and Université catholique de Louvain, Earth and Life Institute, Georges Lemaître Centre for Earth and Climate Research (TECLIM), Louvain-la-Neuve, Belgium

<sup>o</sup> School of Planning, University of Waterloo, 200 University Avenue West, Waterloo, Canada

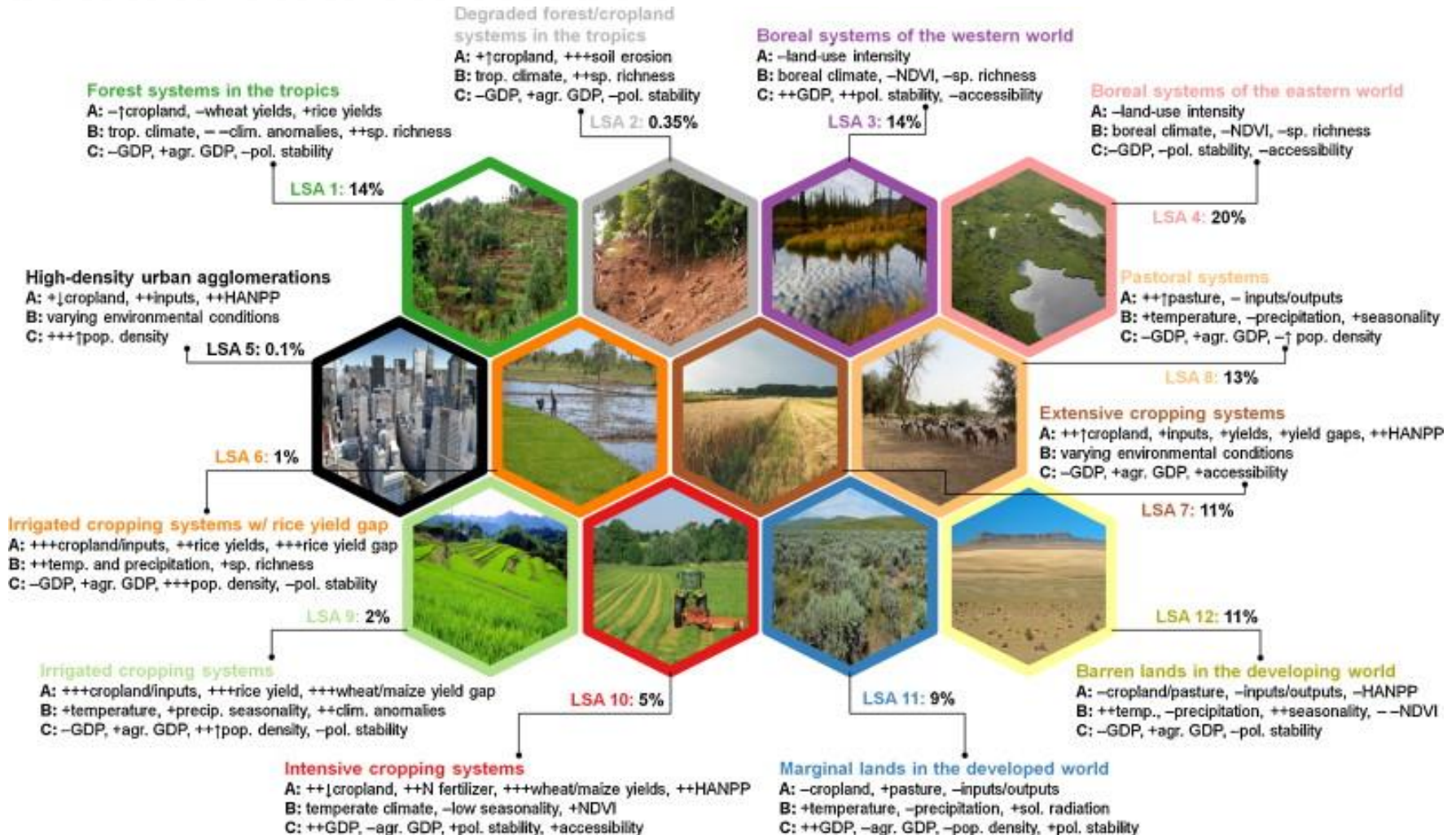
<sup>p</sup> Graduate School of Geography, Clark University, 950 Main Street, Worcester, MA 01610, United States

<sup>q</sup> Field Science Center for Northern Biosphere, Hokkaido University, Kita-9, Nishi-9, Kita-ku, Sapporo 060-0809, Japan

<sup>r</sup> Field to Market, The Alliance for Sustainable Agriculture, 777 N Capitol St. NE, Suite 803, Washington, D.C. 20002, United States

<sup>s</sup> Institute of Geographic Science and Natural Resources Research, Chinese Academy of Sciences, 11A Datun Road, Chaoyang District, Beijing 100101, China

# ARCHETIPI GLOBALI



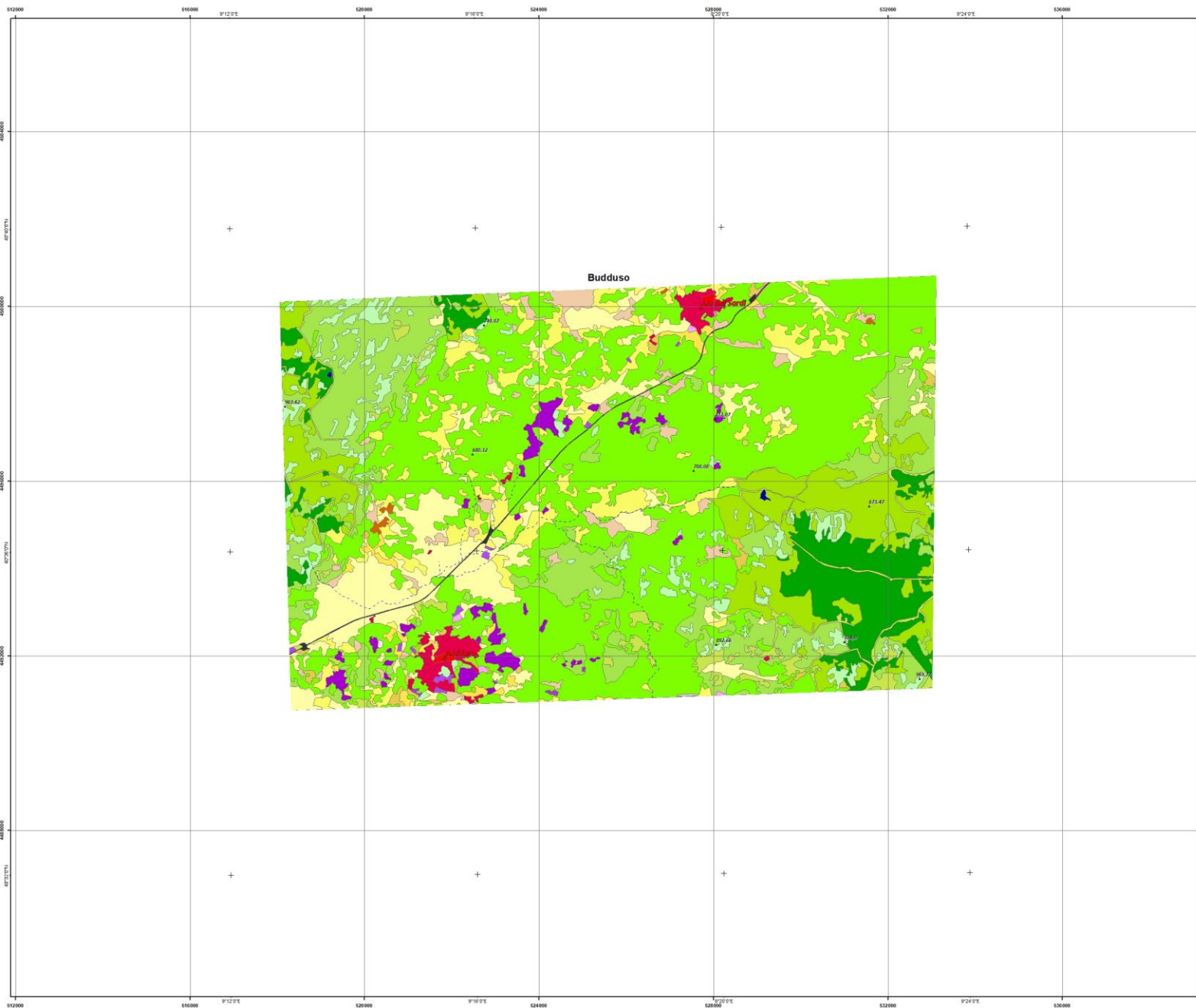
- 
- × Utili le note aggiuntive con dati riguardanti il clima, uso del suolo, vie di comunicazione, centri abitati, ecc.
  - × Le immagini satellitari sono solitamente utilizzate per una definizione iniziale dei ls
  - × In seguito vengono svolti rilevamenti per verificare le informazioni ottenute dalle immagini satellitari

# MATRICI DI CLASSIFICAZIONE

1. Slope  $\leq 5\%$  South facing Dark Not vegetated
2. Slope  $> 5\%$  South facing Dark Not vegetated
3. slope  $\leq 5\%$  North facing Dark Not vegetated
4. slope  $> 5\%$  North facing Dark Not vegetated

**Table 6.** Confidence of slope, aspect and vegetation estimates after field check. Unit purity expresses the percentage of pixels of the original class after filtering of classified data, as in table 4.

Mapping Unit	Unit Purity (%)	Confidence Slope (%)	Confidence Aspect (%)	Confidence Land Cover (%)
1 slope $\leq 5\%$ , south, dark, not vegetated	80.6	75.0	58.3	100.0
2 slope $> 5\%$ , south, dark, not vegetated	79.4	17.4	66.7	77.8
3 slope $\leq 5\%$ , north, dark, not vegetated	83.7	76.2	71.4	94.4
4 slope $> 5\%$ , north, dark, not vegetated	77.3	84.6	80.0	88.9
5 slope $\leq 5\%$ , south, bright, not vegetated	82.1	61.1	73.7	94.4
6 slope $> 5\%$ , south, bright, not vegetated	77.7	66.7	76.9	92.9
7 slope $\leq 5\%$ , north, bright, not vegetated	82.3	71.4	64.3	83.3
8 slope $> 5\%$ , north, bright, not vegetated	77.8	58.3	70.0	88.9
9 slope $\leq 5\%$ , south, vegetated	75.4	37.5	85.7	75.0
10 slope $> 5\%$ , south, vegetated	75.7	42.8	83.3	42.8
11 slope $\leq 5\%$ , north, vegetated	73.3	54.5	90.9	70.0
12 slope $> 5\%$ , north, vegetated	80.2	50.0	40.0	62.5
Mean values	78.79	57.96	71.77	80.91



Slide Number: N/A      Activation ID: EM5H-848  
 Product N.: 03BUDDUSO\_v1\_english

## Budduso - Italy

### Flood Risk Assessment

Land Use and Land Cover Map - Overview

Production date: 02/02/2018

**Cartographic Information**

1:40,000      Full color A1, low resolution (100dpi)

0 0.5 1 2 3 4 km

Grid: WGS 84 / UTM zone 32N map coordinate system  
 Tick marks: WGS 84 geographical coordinate system

**Legend**

<span style="color: red;">●</span> Village	Hydrography	Physiography
Road	Canal	Spot height

**Land Use - Land Cover**

<span style="color: red;">■</span> 0115 Continuous urban fabric	<span style="color: yellow;">■</span> 2110 Pasture
<span style="color: orange;">■</span> 0125 Discontinuous urban fabric	<span style="color: lightgreen;">■</span> 2102 Arable crops
<span style="color: yellow;">■</span> 021 Commercial, public and private service areas	<span style="color: lightblue;">■</span> 2103 Permanent crops - permanent crops
<span style="color: lightgreen;">■</span> 0212 Industry and utilities	<span style="color: lightblue;">■</span> 2104 Cereals or leguminous, or both
<span style="color: lightblue;">■</span> 0221 Main roads and associated land	<span style="color: lightblue;">■</span> 2105 Agri-forestry areas
<span style="color: lightblue;">■</span> 0222 Road	<span style="color: lightblue;">■</span> 2106 Broad-leaved forest
<span style="color: lightblue;">■</span> 024 Airports	<span style="color: lightblue;">■</span> 2107 Coniferous forest
<span style="color: lightblue;">■</span> 030 Linear extraction site	<span style="color: lightblue;">■</span> 2210 Natural grassland
<span style="color: lightblue;">■</span> 032 Camp sites	<span style="color: lightblue;">■</span> 2202 Pasture and shrubland
<span style="color: lightblue;">■</span> 033 Construction sites	<span style="color: lightblue;">■</span> 2203 Semi-natural vegetation
<span style="color: lightblue;">■</span> 042 Sports and leisure facilities	<span style="color: lightblue;">■</span> 2204 Traditional orchards and vineyards
<span style="color: lightblue;">■</span> 043 Amusement area	<span style="color: lightblue;">■</span> 2205 Meadow, meadow and grass
<span style="color: lightblue;">■</span> 0431 Comarone	<span style="color: lightblue;">■</span> 2206 Seasonally irrigated areas
<span style="color: lightblue;">■</span> 2115 Non-irrigated arable land	<span style="color: lightblue;">■</span> 2207 Wet meadows
<span style="color: lightblue;">■</span> 2201 Permanent irrigated land	<span style="color: lightblue;">■</span> 2208 Other meadows
<span style="color: lightblue;">■</span> 2210 Vineyards	<span style="color: lightblue;">■</span> 2211 Natural water bodies
<span style="color: lightblue;">■</span> 2221 Fruit trees and berry plantations	<span style="color: lightblue;">■</span> 2212 Artificial water bodies
<span style="color: lightblue;">■</span> 2222 Olive groves	<span style="color: lightblue;">■</span> 2213 Sea and coast

**Map Information**

The purpose of the requested mapping is to generate comprehensive knowledge through performing post-disaster situation analysis concerning flood events that occurred within January 16 to January 22, 2017, within the map's boundaries in the River (Tirso and Cedrino) and specifically address four risk Active Scenarios (AS).

The results refer to risk assessment products: vulnerability, damage and risk mapping. Towards adequate disaster recovery activities, efficient support and informed decision making of the involved stakeholders, a retrospective flood mapping (spatial extent of the flood), allied with the flooding event, was realized within the Oristano and area administered by risk and damage (sector level) assessments. For the remaining sub-areas, results of Budduso, Oristano and Oristano Agrometereologia, are under vulnerability assessment work.

Key user of the geospatial information and the related map series is the National Civil Protection, Presidenza del Consiglio dei Ministri, the related body in Italy that deals with the prediction, prevention and management of exceptional events.

**Data Sources**

The images covering the studied area (Oristano) and coastal of PLEADEF © CNES (2017), distributed by Airbus DS, acquired on 13/09/2017 and 27/11/2017 (DSI 5.1). The flood coverage provided under COPERNICUS by the European Union and ESA, all rights reserved.

Metadata: Topography, hydrography, Buildings, Footprints, OpenStreetMap, Copernicus data, daily updated disaster related on the basis of the satellite data (non-continuous). Carto and User (see: Data: 2008 © Copernicus Geospatial Land Use Data Base at 25m scales) SGT 10K 2008 © Copernicus Geospatial (20m-40m) Geospatial Data Base at 10K scales/CEC/SAI (see © Sardegna Department) I-Cartus 2011 © 2017 (Cartus data at census block level).

The data provided is subject to the terms outlined in the arrangements concerning access to authoritative geospatial reference data for Copernicus emergency management service.

**Dissemination/Publication**

The products (maps) are available through the ERS Copernicus Portal at the following URL: <http://emergency.europa.eu/emergency4>. Delivery formats are GeoPDF, GeoPDF G and vector (ESRI GDB format). No restrictions on the publication of the mapping apply.

**Framework**

The products elaborated in the framework of the current Risk and Recovery Mapping activity are realized to the best of our ability. All geospatial information has limitations due to scale, resolution, data and interpretation of the original data sources. The products are compliant with the Copernicus EM Risk and Recovery Product Profile specifications.

**Map Production**

The map shows the Land Use/Land Cover of the specific area. The legend is based upon CORINE level 2 categorization within the built-up areas and area 2 within the remaining area.

The estimated geometric accuracy of the images is 5 m and complies with the IBC requirements referring to the mapping scale and is fully supported by the native positional accuracy of the background satellite imagery.

The estimated thematic accuracy of this product is 85%, or better, based on internal validation procedures and visual interpretation of recognizable items on very high resolution optical imagery.

**Contact**

The map was produced under the Service Contract to 256616 of the European Commission in 02/02/2018 by GEOPORTALIS (S.L.) - RDA (E.L.) - CNES (IT) - TRÉ ALTAIRIA (S.L.)

Name of the release authority (quality control): IBC  
 E-mail: [emr-risk-recovery-mapping@ec.europa.eu](mailto:emr-risk-recovery-mapping@ec.europa.eu)  
<http://emergency.europa.eu/mapping>

---

# LEGENDA

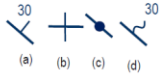
---

# GLI ELEMENTI DI UNA CARTA GEOMORFOLOGICA

- × Elementi geologico-strutturali
- × Idrografia ed elementi meteo-marini
- × Forme strutturali e vulcaniche
- × Forme di versante dovute alla gravità
- × Forme fluviali, fluvio-glaciali e di versante dovute al dilavamento
- × Forme carsiche
- × Forme glaciali
- × Forme crionivali
- × Forme eoliche
- × Forme ed elementi di origine marina (emersi/sommersi), lagunare, lacustre e relativi depositi
- × Grandi superfici di spianamento relitte e forme associate, talora di genesi complessa
- × Forme e prodotti di alterazione meteorica
- × Forme antropiche

# ALCUNI ESEMPI: FORME GEOLOGICO-STRUTTURALI

COLORE	RGB CMYK	SIGLA	DESCRIZIONE
	84,141,212 68,39,0,0	<b>tr</b>	Travertini e calcari continentali
	197,245,255 25,0,2,0	<b>UL1</b>	Rocce prevalentemente calcaree
	193,221,255 27,8,0,0	<b>UL2</b>	Rocce prevalentemente dolomitiche
	242,219,219 5,18,10,0	<b>UL3</b>	Rocce prevalentemente evaporitiche, anidritiche e gessose
	229,184,183 10,34,21,0	<b>UL4</b>	Rocce silicee
	255,255,197 3,0,30,0	<b>UL5</b>	Rocce marnose, marnoso-argillose, argillose e limose talora contenenti modeste quantità di sabbie
	255,255,151 0,13,49,0	<b>UL6</b>	Sabbie sciolte o poco cementate, sabbie con subordinati livelli conglomeratici
	255,192,109 0,31,62,0	<b>UL7</b>	Ghiaie sciolte e conglomerati poco cementati talora con matrice sabbiosa; conglomerati sabbiosi

	Giacitura degli strati e scistosità: (a) giacitura o scistosità inclinata con indicazione dell'inclinazione; (b) giacitura o scistosità orizzontale; (c) giacitura o scistosità verticale; (d) strati deformati con indicazione del valore medio di immersione e inclinazione (stabilo 390)
	Limite di frana o di copertura di versante (stabilo 750)
	Contatto stratigrafico certo, limite di deposito alluvionale (stabilo 390)
	Contatto stratigrafico presunto o sepolto (stabilo 390)
	Faglia certa, contatto tettonico certo (stabilo 390)
	Faglia presunta o sepolta, contatto tettonico presunto o sepolto (stabilo 390)
	Sovrascorrimento principale certo (stabilo 390)
	Sovrascorrimento principale presunto o sepolto (stabilo 390)
	Frattura o altro lineamento tettonico (stabilo 390)

Da Carta geomorfologica della Toscana

# ELEMENTI METEO-MARINI (CELESTE)

## 2.2. - IDROGRAFIA ED ELEMENTI METEO-MARINI (celeste)

*Stabilo 57*

	A	B	C
IM1			Zona endoreica
IM2	.....		Limite di probabile esondazione (ove determinabile)
IM3			♣ Sorgente perenne
IM4			♣ Sorgente temporanea
IM5			♣* Sorgente minerale
IM6			♣* <sup>so</sup> Sorgente termominerale
IM7			♣ Sorgente o risorgiva di origine carsica
IM8			↗ Vento dominante
IM9			↘ Deriva litorale
IM10			*** Correnti di fondo
IM11			Ghiacciaio
IM12			Nevaio permanente

# FORME STRUTTURALI E VULCANICHE (MARRONE)

A. FORME STRUTTURALI

	A	B	C	
SV1		◇ ◇	◇	Dorsale antiforme, alto strutturale
SV2		◻ ◻	◻	Depressione sinforme, basso strutturale
SV3				Area di recente sollevamento
SV4				Area di recente abbassamento
SV5				Orlo di scarpata di faglia
SV6				Versante di faglia
SV7				Orlo di scarpata di faglia con indizi di riattivazione tettonica quaternaria
SV8				Versante di faglia con indizi di riattivazione tettonica quaternaria
SV9				Orlo di scarpata di linea di faglia dello stesso senso del rigetto
SV10				Orlo di scarpata di linea di faglia di senso opposto al rigetto
SV11				Orlo di scarpata di flessura
SV12			△	Faccetta di scarpata tettonica
SV13				Superficie strutturale
SV14				Superficie strutturale degradata o superficie substrutturale

Orlo di rilievo monoclinale:

SV15		a) a <i>cuesta</i>
SV16		b) ad <i>hogback</i>
SV17		Cresta
SV18		Orlo di grande parete
SV19		Cornice, orlo di scarpata ripida influenzata dalla struttura
SV20		⊖ Gradinate di bancate di strato
SV21		⊖ "Costolature" di testate di strato

# FORME DI VERSANTE DOVUTE ALLA GRAVITÀ (ROSSO)

## B. FORME DI ACCUMULO E RELATIVI DEPOSITI

		Corpo di frana:	
VG12		a) di crollo	
VG13		b) di scorrimento	
VG14		c) di colamento	
VG15		Piccola frana o gruppo di piccole frane non classificate	
VG16		Detrito di versante	
VG17		Cono di detrito	
VG18		Falda di detrito	
VG19		Falda detritica stratificata	
VG20		Colata da geliflusso	
VG21		Deposito di grandi frane mobilizzato dai ghiacciai	

## DEFORMAZIONI GRAVITATIVE PROFONDE

VG22		Versante vistosamente interessato da deformazione profonda	
VG23		Trincea	
VG24		Gradino	
VG25		Contropendenza	
VG26		Doppia cresta	
VG27		Depressioni chiuse	

## 2.4. - FORME DI VERSANTE DOVUTE ALLA GRAVITÀ (rosso)

Forme attive: **Stabilo 40**

Forme non attive: **Stabilo 54**

## A. FORME DI DENUDAZIONE

	A	B	C	
				Nicchia di frana:
VG1				a) di crollo
VG2				b) di scorrimento
VG3				c) di colamento
VG4				Gradino di frana
VG5				Contropendenza
VG6				Superficie dissestata da creep
VG7				Superficie dissestata da soliflusso
VG8				Superficie dissestata da geliflusso
VG9				Orlo di scarpata di degradazione
VG10				Canalone in roccia e con scariche di detrito
VG11				Cresta di degradazione

# FORME FLUVIALI, FLUVIO-GLACIALI E DI VERSANTE DOVUTE AL DILAVAMENTO (VERDE)

## 2.5. - FORME FLUVIALI, FLUVIO-GLACIALI E DI VERSANTE DOVUTE AL DILAVAMENTO (verde)

Forme attive: **Stabilo 36**  
Forme non attive: **Stabilo 33**

### A. FORME DI EROSIONE

	A	B	C
FD1			Forra
FD2			Marmitta e/o altra forma di evorsione
FD3			Rapida
FD4			Cascata
FD5			Soglia di valle sospesa, gradino in valle fluviale
FD6			Letto fluviale a gradini
FD7			Gomito di cattura fluviale
FD8			Alveo in approfondimento
FD9			Solco da ruscellamento concentrato
FD10			Vallecola a V
FD11			Vallecola a conca
FD12			Vallecola a fondo piatto
FD13			Traccia di corso d'acqua estinto, al livello della pianura o leggermente incassato
FD14			Traccia di corso d'acqua estinto a canali intrecciati

FD15		Valle relitta	
FD16		Traccia di scaricatore fluvio-glaciale estinto	
FD17		Antica direzione di scorrimento	
FD18		Canale di esondazione	
FD19		Alveo con erosione laterale o sponda in erosione	
FD20		Meandri incastrati	
FD21		Ripiano di erosione	
FD22		Orlo di scarpata di erosione fluviale o di terrazzo: a) altezza inferiore a 5 metri	
FD23		b) altezza fra 5 e 10 metri	
FD24		c) altezza superiore a 10 metri	
FD25		Orlo di scarpata di denudazione	
FD26			Faccetta di erosione fluviale
FD27			Superficie con forme di dilavamento prevalentemente diffuso
FD28			Superficie con forme di dilavamento prevalentemente concentrato
FD29			Barranco
FD30			Calanco isolato

FD31			Area a calanchi e forme similari
FD32			Area a biancane
FD33			Area a piramidi di terra
FD34			Glacis d'erosione
FD35			Nicchia di sorgente; testata di incisione di risorgiva
FD36			Cresta
FD37			Cresta affilata o a lama
FD38			Picco roccioso

#### B. FORME DI ACCUMULO E RELATIVI DEPOSITI

Simbologia delle granulometrie prevalenti dei depositi:

FD39		Limo e argilla
FD40		Sabbia
FD41		Sabbia cementata
FD42		Ghiaia
FD43		Ghiaia cementata
FD44		Blocchi
FD45		Blocchi cementati

FD46		Conoide alluvionale: a) pendenza inferiore al 2%
FD47		b) pendenza fra il 2% e il 10 %
FD48		c) pendenza superiore al 10 %
FD49		Colata da trasporto in massa ( <i>debris-flow, mud-flow</i> )
FD50		Cono colluviale
FD51		Deposito colluviale
FD52		Glacis d'accumulo
FD53		Argine naturale
FD54		Ventaglio di esondazione
FD55		Dosso fluviale
FD56		Superficie di terrazzo
FD57		Area depressa in pianura alluvionale
FD58		Cono fluvio-glaciale

# FORME CARSICHE (ARANCIONE)

## 2.6. - FORME CARSICHE (arancione)

Stabito 18

### A. FORME DI EROSIONE

	A	B	C	
CS1			○ Dolina	
CS2			□ Pozzo prevalentemente di crollo	
CS3			Depressione a contorno complesso	
CS4			Campo di doline	
CS5		∞	Campi solcati ( <i>karren</i> )	
CS6		∞	Campi solcati di stadio evolutivo avanzato ( <i>karren</i> relitti, ruiniiformi, etc.)	
CS7		△	Pietraia carsica ( <i>griza</i> )	
CS8			Bordo di <i>polje</i>	
CS9			Superficie spianata ( <i>ljut</i> )	
CS10		^	<i>Hum</i>	
CS11		+++++	<i>Canyon</i> fluvio-carsico inattivo per carsismo	
CS12		- - - -	Condotta percorsa da fiume sotterraneo (ove accertato)	
CS13			Valle cieca	
CS14			Valle chiusa	
CS15			Valle secca	

CS16

▽ Inghiottitoio

CS17

∩ Nicchia o riparo

CS18

∩ Arco, ponte naturale

CS19

∩ Ingresso di grotta a sviluppo orizzontale

CS20

▽ Ingresso di cavità a sviluppo prevalentemente verticale, abisso

### B. DEPOSITI

CS21



∩ Travertino

# FORME GLACIALI (VIOLA)

## 2.7. - FORME GLACIALI (viola)

Forme attive: **Stabilo 27**

Forme non attive: **Stabilo 55**

### A. FORME DI EROSIONE

	A	B	C	
GL1				Orlo di circo
GL2				Orlo di conca di sovraescavazione
GL3				Cresta
GL4				Cresta affilata o a lama
GL5				Orlo di scarpata
GL6				Gradino in valle glaciale
GL7				Sella
				Direzione di flusso:
GL8				a) transfluenza
GL9				b) confluenza
GL10				Soglia di valle sospesa
GL11				Superficie rocciosa di modellamento glaciale
GL12				Rocce montonate
GL13				Rilievo a dorso di cetaceo
GL14				Strie e solchi di esarazione glaciale

GL15			Contropendenza di esarazione
GL16			Limite superiore del modellamento glaciale
GL17			Limite della massima espansione di ciascuna fase glaciale ben riconosciuta

### B. FORME DI ACCUMULO E RELATIVI DEPOSITI

GL18			Cordone morenico
GL19			Deposito glaciale
GL20			Area a massi erratici
GL21			Masso/i erratico/i
GL22			<i>Drumlin</i>
GL23			Orlo di <i>kame</i> (forma di contatto glaciale)
GL24			<i>Esker</i> (forma di contatto glaciale)

# FORME CRIONIVALI (BLU)

## 2.8. - FORME CRIONIVALI (blu)

Forme attive: **Stabilo 41**  
 Forme non attive: **Stabilo 12**

### A. FORME DI EROSIONE

	A	B	C	
CN1				Superficie di crioplanazione
CN2				Orlo di nicchia di nivazione
CN3				Canalone di valanga
CN4				Picco isolato da crioclastismo

### B. FORME DI ACCUMULO E RELATIVI DEPOSITI

CN5			Area interessata da crioturbazione
CN6			Superficie a cuscinetti erbosi
CN7			Superficie a suoli poligonali
CN8			Superficie con terrazette
CN9			Superficie a cunei di ghiaccio fossili
CN10			Superficie a suoli striati
CN11			Colata di blocchi
CN12			<i>Rock glacier</i>
CN13			Nivomorena
CN14			Cono da valanga
CN15			Campo di pietre

# FORME EOLICHE (TURCHESE)

## 2.9. - FORME EOLICHE (turchese)

Forme attive: **Stabilo 13**

Forme non attive: **Stabilo 53**

### A. FORME DI EROSIONE

	A	B	C	
EL1				Superficie di deflazione
EL2			⋈	Conca di deflazione
EL3				Solco di deflazione

### B. FORME DI ACCUMULO E RELATIVI DEPOSITI

Simbologia delle granulometrie prevalenti dei depositi:

EL4		Sabbia
EL5		Sabbia cementata

Cordone dunare allo stato naturale (anche se vegetato):

EL6		a) non in erosione
EL7		b) in erosione

Cordone dunare antropizzato:

EL8		a) non in erosione
EL9		b) in erosione

EL10		* Area con coperture di loess
------	---	-------------------------------

# FORME MARINE (AZZURRO)

## 2.10. - FORME ED ELEMENTI DI ORIGINE MARINA (EMERSI E SOMMERSI), LAGUNARE E LACUSTRE E RELATIVI DEPOSITI (azzurro)

Forme attive: *Stabilo 32*

Forme non attive: *Stabilo 57*

	A	B	C	
ML1				Bordo della piattaforma continentale
ML2				a) in progradazione
ML3				b) in arretramento
ML4				Linea di riva: a) in avanzamento
ML5				b) in arretramento
ML6				c) stabile Antica linea di costa:
ML7				a) emersa
ML8				b) sommersa
ML9				Vasche di erosione
ML10				Solco di battente
ML11				Grotta
ML12				Faraglione, scoglio isolato emerso
ML13				Scoglio isolato sommerso
ML14				Arco, ponte naturale

ML15

ML16

ML17

ML18

ML19

ML20

ML21

ML22

ML23

ML24

ML25

ML26

ML27

ML28

ML29

ML30

ML31

Orlo di falesia o di ripa di erosione:

a) di altezza inferiore a 25 metri

b) di altezza maggiore o uguale a 25 metri

Spianata di erosione

Superficie di accumulo

Orlo di terrazzo di abrasione o di progradazione

Cuspidi di spiaggia

*Beach rock*

Cordone litoraneo (lido)

Cordone litoraneo sormontato da dune (tombolo)

Stagno, acquitrino, zona palustre

Deposito di torba

Laguna costiera

a) perenne

b) intermittente

Antico limite di bacino lagunare

Canale lagunare e canale di marea

Traccia di antico canale lagunare

ML32			Bocca lagunare
ML33			Traccia di antica bocca lagunare
ML34			Barena
ML35			Velma
ML36			Fronte di delta
ML37			a) progradante
ML38			b) in erosione
ML39			<i>Canyon</i> sottomarino
ML40			Incisione sottomarina
ML41			Conoide sottomarino
ML42			Area a dune idrauliche
ML43			Area a increspature di fondo ( <i>ripple marks</i> )
ML44			Barra, cordone sommerso
ML45			Asse di truogolo
			Simbologia delle granulometrie prevalenti dei depositi:
ML46			Limo e argilla
ML47			Sabbia

---

ML48  Sabbia cementata

ML49  Ghiaia

ML50  Ghiaia cementata

ML51  Blocchi

ML52  Blocchi cementati

ELEMENTI CONNESSI ALL'ATTIVITÀ BIOLOGICA

*Stabulo 51*

ML53   Prateria algale o a fanerogame

ML54  Prateria algale o a fanerogame diradata

ML55  "Mattes" di posidonia morta

ML56  Coralligeno

ML57  Manifestazione gassosa

GIUSEPPE MASTRONUZZI <sup>1\*</sup>, DOMENICO ARINGOLI <sup>2</sup>, PIETRO P.C. AUCELLI <sup>3</sup>,  
MAURIZIO A. BALDASSARRE <sup>4</sup>, PIERO BELLOTTI <sup>4</sup>, MONICA BINI <sup>5</sup>, SARA BIOLCHI <sup>6</sup>,  
SARA BONTEMPI <sup>4</sup>, PIERLUIGI BRANDOLINI <sup>7</sup>, ALESSANDRO CHELLI <sup>8</sup>, LINA DAVOLI <sup>4</sup>,  
GIACOMO DEIANA <sup>9</sup>, SANDRO DE MURO <sup>10</sup>, STEFANO DEVOTO <sup>6</sup>, GIANLUIGI DI PAOLA <sup>11</sup>,  
CARLO DONADIO <sup>12</sup>, PAOLA FAGO <sup>1</sup>, MARCO FERRARI <sup>7</sup>, STEFANO FURLANI <sup>6</sup>,  
ANGELO IBBA <sup>10</sup>, ELVIDIO LUPIA PALMIERI <sup>4</sup>, ANTONELLA MARSICO <sup>1</sup>, RITA T. MELIS <sup>9</sup>,  
MAURILIO MILELLA <sup>1</sup>, LUIGI MUCERINO <sup>7</sup>, OLIVIA NESCI <sup>13</sup>, PAOLO E. ORRÚ <sup>12</sup>,  
VALERIA PANIZZA <sup>14</sup>, MICLA PENNETTA <sup>12</sup>, DANIELA PIACENTINI <sup>13</sup>,  
ARCANGELO PISCITELLI <sup>1</sup>, NICOLA PUSCEDDU <sup>7</sup>, ROSSANA RAFFI <sup>4</sup>, CARMEN M. ROSSKOPF <sup>11</sup>,  
PAOLO SANSÓ <sup>15</sup>, CORRADO STANISLAO <sup>12</sup>, CLAUDIA TARRAGONI <sup>4</sup>, ALESSIO VALENTE <sup>16</sup>

**GEOMORPHOLOGICAL MAP OF THE ITALIAN COAST:  
FROM A DESCRIPTIVE TO A MORPHODYNAMIC APPROACH**

Continental Shelf		
MP001		Shelf breaks
MP002		Retreating
MP003		Prograding
MP004		Submarine canyon
MP005		Edge of canyon
MP006		Submarine valley

General		
MT007		Shoreline
MT008		Retreating
MT009		Prograding
MT010		Stable
MT011		Rocky coastline

Rock Coast		
MT012		Erosional pool > 1 m
MT013		Potholes > 1 m
MT014		Solution pool > 1 m
MT015		Tidal notch
MT016		Abrasion notch

Sedimentary and Transition Coasts		
MT031		Pebble beach at foot cliff
MT032		Sandy beach at foot cliff
MT033		Sandy EB
MT034		Sandy-pebble EB
MT035		Pebble EB

Tsunami/Seastorm Deposit		
MT094		Isolated boulders
MT095		Boulder accumulation
MT096		Boulder field
MT097		Washover sands
MT098		Inland penetration

Elements due to Biological Activity		
MP099		Seagrass meadow
MP100		Sparse seagrass meadow
MP101		Algae formation
MP102		Sparse algae formation
MP103		Rim
MP104		Dead mat
MP105		Coralligenous
MP106		Tubipore colonies
MP107		Intramatt deposit
MP108		Biogravel deposit
MP109		Biosand deposit
MP110		Banquette

Spring		
MT111		Gas
MT112		Fresh water

Eolian Landform		
EL001		Deflation surface
EL002		Blow out
EL003		Deflation furrow
EL004		Not eroding ED
EL005		Eroding ED
EL006		Not eroding PDR
EL007		Eroding PDR
EL008		Not eroding SDR
EL009		Eroding SDR
EL010		Not eroding TDR
EL011		Eroding TDR
EL012		Not eroding ADR
EL013		Eroding ADR
EL014		Lithified dune
EL015		Wandering dune crest

Continental Shelf		
MT017		Erosive notch
MT018		Seacave
MT019		Blowhole
MT020		Stack
MT021		Arch
MT022		Cliff
MT023		Boulder
MT024		Marine erosion scarp
MT025		Simple coastal slope
MT026		Complex coastal slope
MP027		Wave cut platform
MP028		Surf beach
MP029		Wheathering platform
MP030		Bioactivity platform

Spring		
EL016		Vegetated dune crest
EL017		Stable dune crest
EL018		Sheet loess area
EL019		Transgressive moving dune
EL020		Transgressive vegetated dune
EL021		Transgressive unhorized dune
EL022		Transgressive stabilized dunes
EL023		Foredune plains

Marine Terraces: Landforms and Granulometries		
MT085		Abrasion terraces
MT086		Inner margin
MT087		Outer margin
MT088		Silt
MT089		Sand
MT090		Cemented sand
MT091		Gravel
MT092		Cemented gravel
MT093		Cemented blocks

NOT E		
EB	Emerged Beach	
SB	Submerged Beach	
PDR	Primary Dune Ridge	
SDR	Secondary Dune Ridge	
TDR	Tertiary Dune Ridge	
ADR	Antropized Dune Ridge	
MT	Marine Transitional Zone	
MP	Marine Platform Zone	
EL	Eolian Landform	
ED	Embryonal Dune	

# GRANDI SUPERFICI DI SPIANAMENTO (FUCSIA)

## 2.11. - GRANDI SUPERFICI DI SPIANAMENTO RELITTE E FORME ASSOCIATE, TALORA DI GENESI COMPLESSA (fucsia)

*Stabito 56*

	A	B	C	
SR1				Forma spianata, ubicata sui fianchi o alla sommità dei rilievi
SR2				Orlo di scarpata delimitante forme semispianate
SR3				Antica superficie di erosione fossilizzata e poi riesumata
SR4				<i>Pediment</i> o <i>glacis</i> d'erosione pedemontano
SR5				Valle relitta

# FORME E PRODOTTI DI ALTERAZIONE METEORICA (WETHERING), OCRA

## 2.12. - FORME E PRODOTTI DI ALTERAZIONE METEORICA (ocra)

*Stabulo 39*

### A. FORME DI EROSIONE

	A	B	C	
AM1				Area a tafoni
AM2				Area con sculture alveolari
AM3				Area a tafoni e sculture alveolari
AM4				Area con cataste di blocchi ( <i>tor</i> )

### B. PRODOTTI DI ALTERAZIONE

AM5				Coltri indifferenziate di alterazione (sedimenti di suoli, regolite, etc.)
AM6				Livelli induriti (croste calcaree, <i>duripan</i> , etc.)

# FORME ANTROPICHE (NERO)

AN17		Orlo di scarpata di miniera
AN18		Orlo di scarpata di discarica
AN19		Discarica
AN20		Area con buche da bombe
AN21		Superficie di sbancamento
AN22		Terrapieno
AN23		Rilevato stradale o ferroviario
AN24		Bonifica per colmata
AN25		Corso d'acqua pensile in argini artificiali
AN26		Opere principali di sbarramento fluviale, dighe
AN27		Briglia
AN28		Tratto di corso d'acqua con briglie
AN29		Argine
AN30		Argine di maestra
AN31		Cassa di espansione delle piene
AN32		Canale scolmatore per il deflusso di piene eccezionali
AN33		Deviazione artificiale di corso d'acqua

## 2.13. - FORME ANTROPICHE (nero)

	A	B	C	
AN1				Principali aree urbanizzate
AN2				Area di interesse archeologico
				Versante con terrazzamento a muretti o a scarpate:
AN3				a) integro
AN4				b) in degradazione
AN5				Orlo di terrazzo a muretti o a scarpate
AN6				Superficie degradata per pascolamento
AN7				Superficie degradata per disboscamento
AN8				Pista da sci
AN9				Cava
AN10				Miniera a cielo aperto
AN11				Cava in sotterraneo
AN12				Miniera
AN13				Cava abbandonata
AN14				Miniera a c.a. abbandonata
AN15				Area in subsidenza
AN16				Orlo di scarpata di cava

AN34		Trincea, canale abbandonato, canale in costruzione
AN35		Principale condotta in galleria
AN36		Opera di captazione di grandi sorgenti
AN37		Canale lagunare artificiale
AN38		Canale artificiale
AN39		Salina
AN40		Difesa aderente alla riva verso mare o verso laguna
AN41		Pennello, scogliera
AN42		Opere marittime e portuali
AN43		Resti archeologici di opere marittime e moli

---

**ESEMPI DI CARTE GEOMORFOLOGICHE  
(VEDI PDF ALLEGATI O JOURNAL OF MAPS)**

---

# **GEOMORFOLOGIA COSTIERA**

---



---

# **GEOMORFOLOGIA FLUVIALE E DELLE PIANE ALLUVIONALI**

---

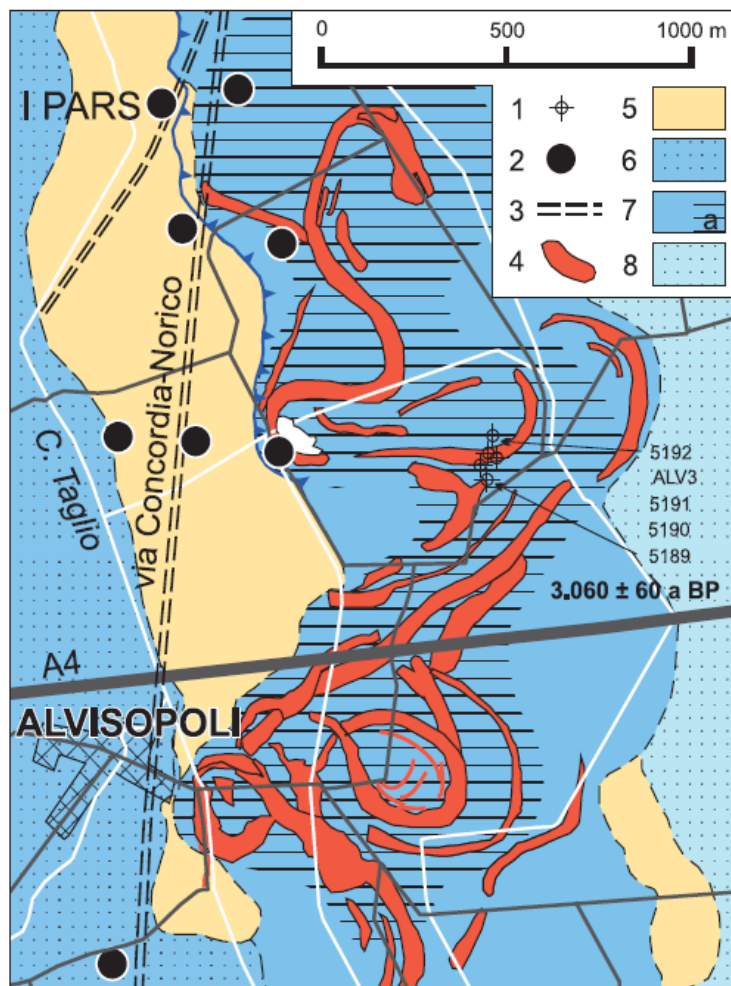


Fig. 26 - Pianta dell'area di Alvisopoli (modificato da FONTANA, 2006).

Legenda: 1) sondaggi; 2) siti romani; 3) traccia di strada romana; 4) paleovalvei; 5) piana LGM; 6) depositi del Tiliaventum Maius; 7) depositi dei paleovalvei di Alvisopoli; 7a) aree depresse; 8) depositi post-romani.

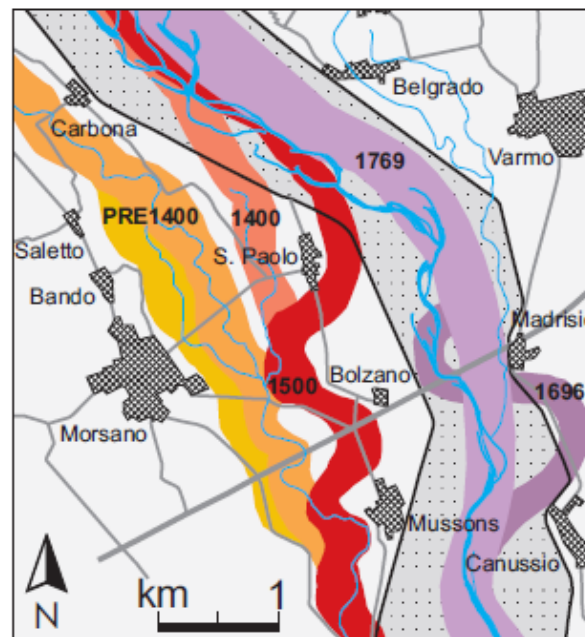


Fig. 30 - Rappresentazione delle differenti direzioni seguite dal Tagliamento tra il XIV e il XVIII sec. (da FONTANA, 2006).

I cambi di direzione avvennero quasi sempre in corrispondenza di grandi piene, fra cui si ricorda quella del 1596 che causò la distruzione dei castelli di Belgrado e Madrisio e portò il Tagliamento nell'alveo che, pur con alcune variazioni, occupa tuttora. Elaborazione dalla carta di F. DUOMO del 1796

---

# CARTE DELL'INSTABILITÀ

---

# GEOMORPHOLOGICAL MAP OF CEPHALONIA ISLAND (WESTERN GREECE)

Karymbalis E.<sup>1</sup>, Papanastassiou D.<sup>2</sup>, Gaki-Papanastassiou K.<sup>3</sup>, Tsanakas K.<sup>3</sup>, Maroukian H.<sup>3</sup>

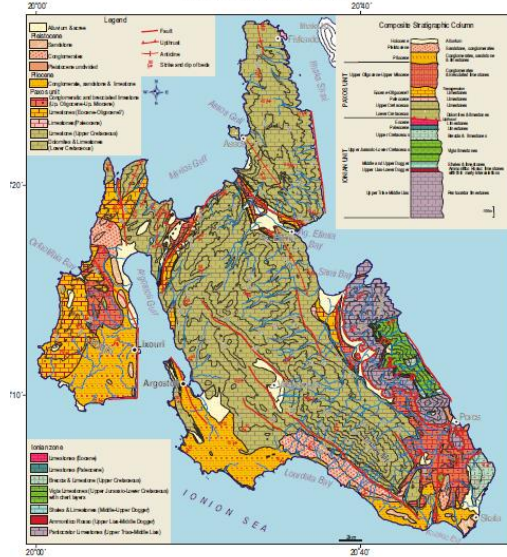
<sup>1</sup>Department of Geography, Harokopio University, 70 El. Venizelou Str. GR-17671 Athens, Greece (karymbalis@hua.gr)

<sup>2</sup>Institute of Geodynamics, National Observatory of Athens, Athens GR-11810, Greece (d.papan@gein.oba.gr)

<sup>3</sup>Department of Geography and Geoenvironment, Faculty of Geology and Geoenvironment, National University of Athens, GR-15704, Athens, Greece, (gaki@geol.uoa.gr, maroukian@geol.uoa.gr, ktsanakas@geol.uoa.gr)

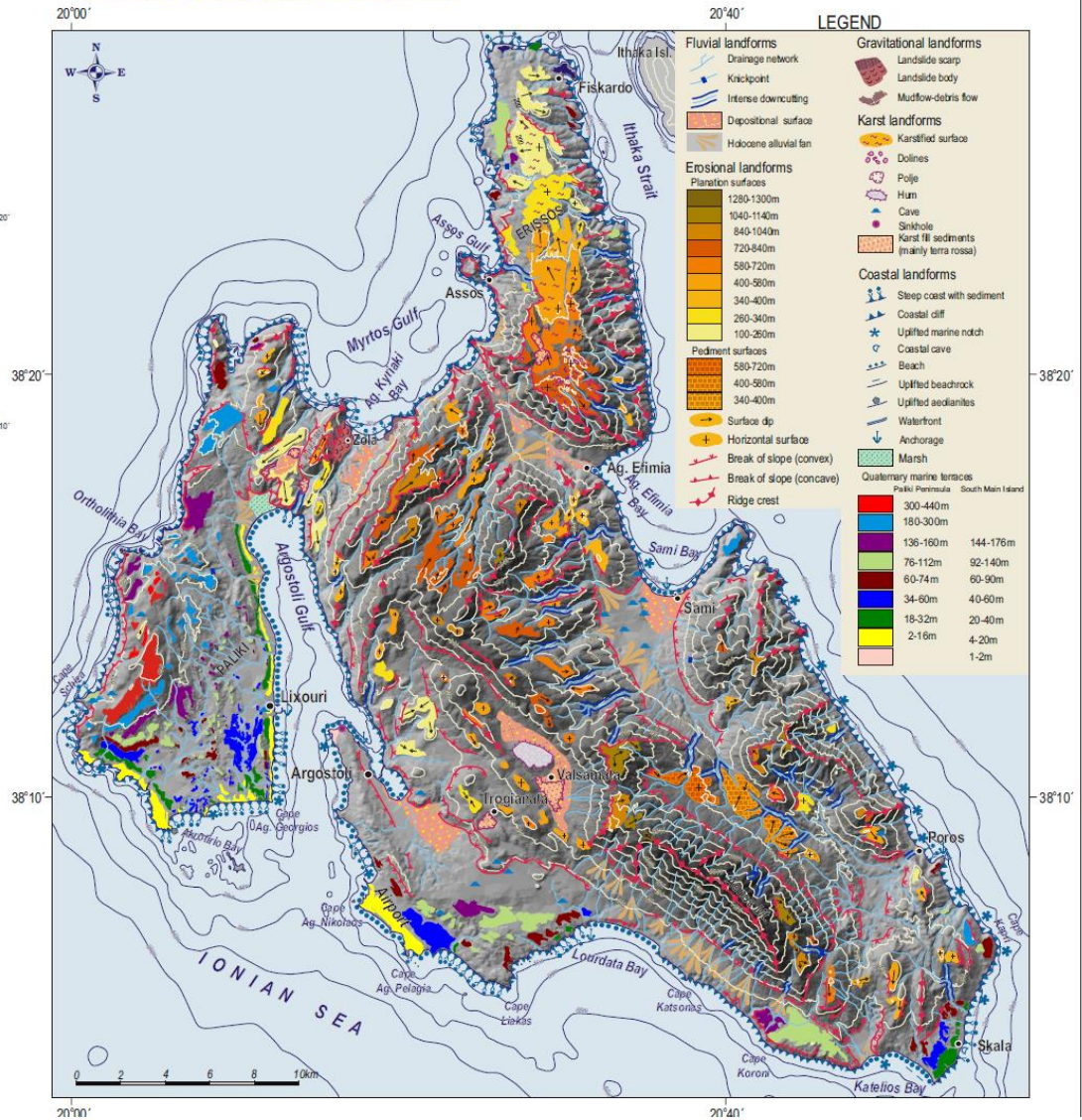
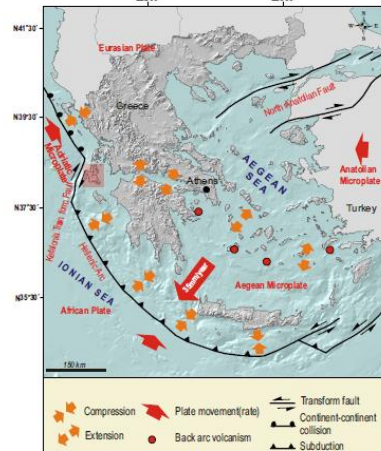
## Geological map of Cephalonia Island

(based on BP Co Ltd, 1971 and IGME, 1995)



## The geodynamic setting of the broader Aegean area

(based on Gaki-Papanastassiou et al., 2011)



---

**ZONE ARIDE**

---

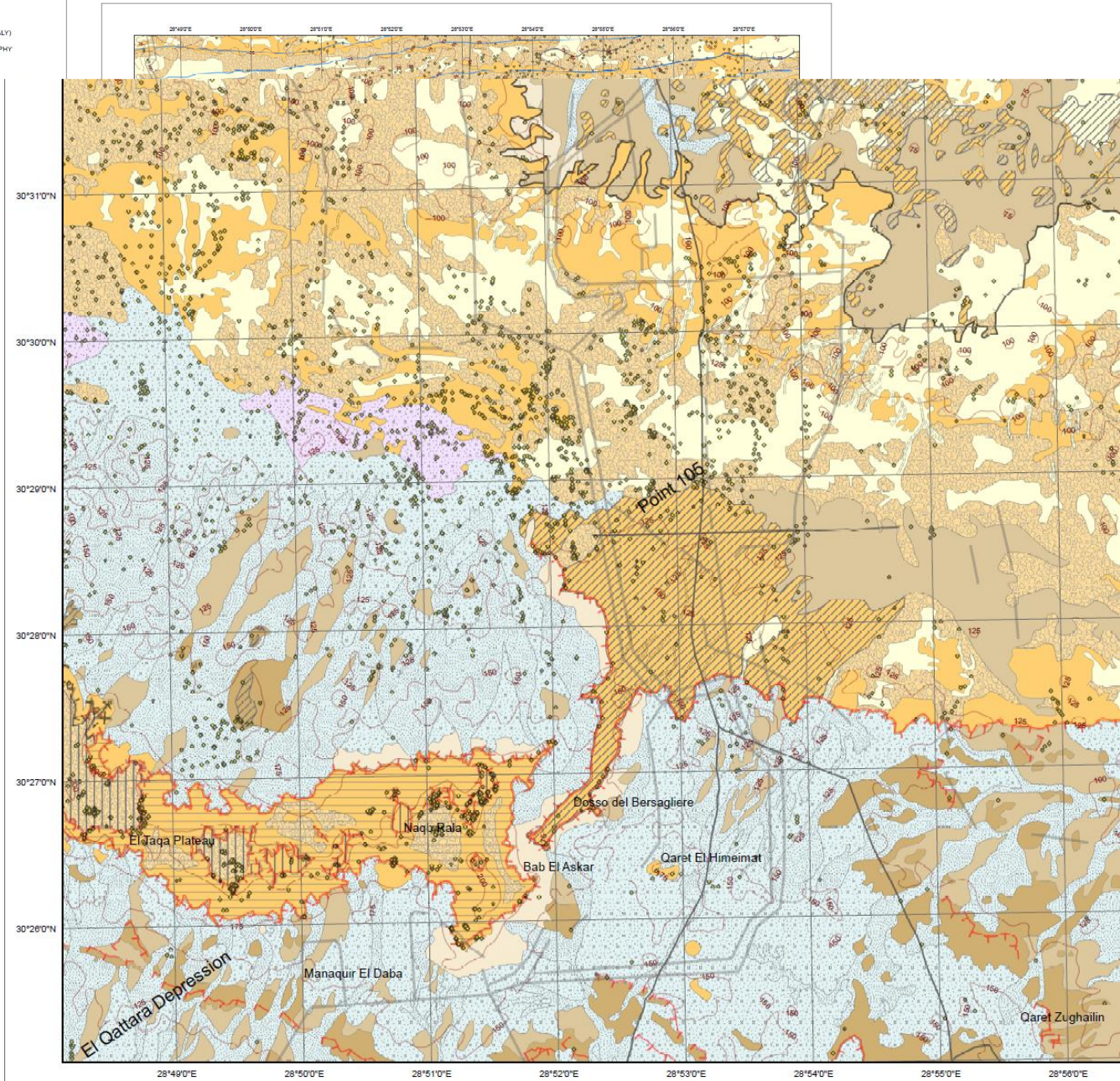
# GEOMORPHOLOGICAL MAP OF THE EL ALAMEIN BATTLEFIELD (SOUTHERN FRONT)



UNIVERSITY OF PADUA (ITALY)  
DEPARTMENT OF GEOGRAPHY  
"G. MORANDINI"

## LEGEND

- Minefield (1942)
- Desert track
- Military emplacement
- Cliff < 5 m
- 5 m ≤ cliff ≤ 10 m
- Cliff > 10 m
- Incised wadi
- Karkar lineament
- Depression edge
- Alluvial deposit (more clayey)
- Alluvial deposit (less clayey)
- Aeolian deposit
- Mixed eolian, alluvial and colluvial deposit
- Terrigenous bedrock
- Shallow terrigenous bedrock
- Carbonate bedrock (mainly limestone)
- Shallow carbonate bedrock (mainly limestone)
- Wadi-fan system
- Senr
- Hamada
- Mesa surface - lower terrace
- Mesa surface - higher terrace
- Discontinuous horizontal bed of hard rock
- Interkarkar depression
- Contour line



---

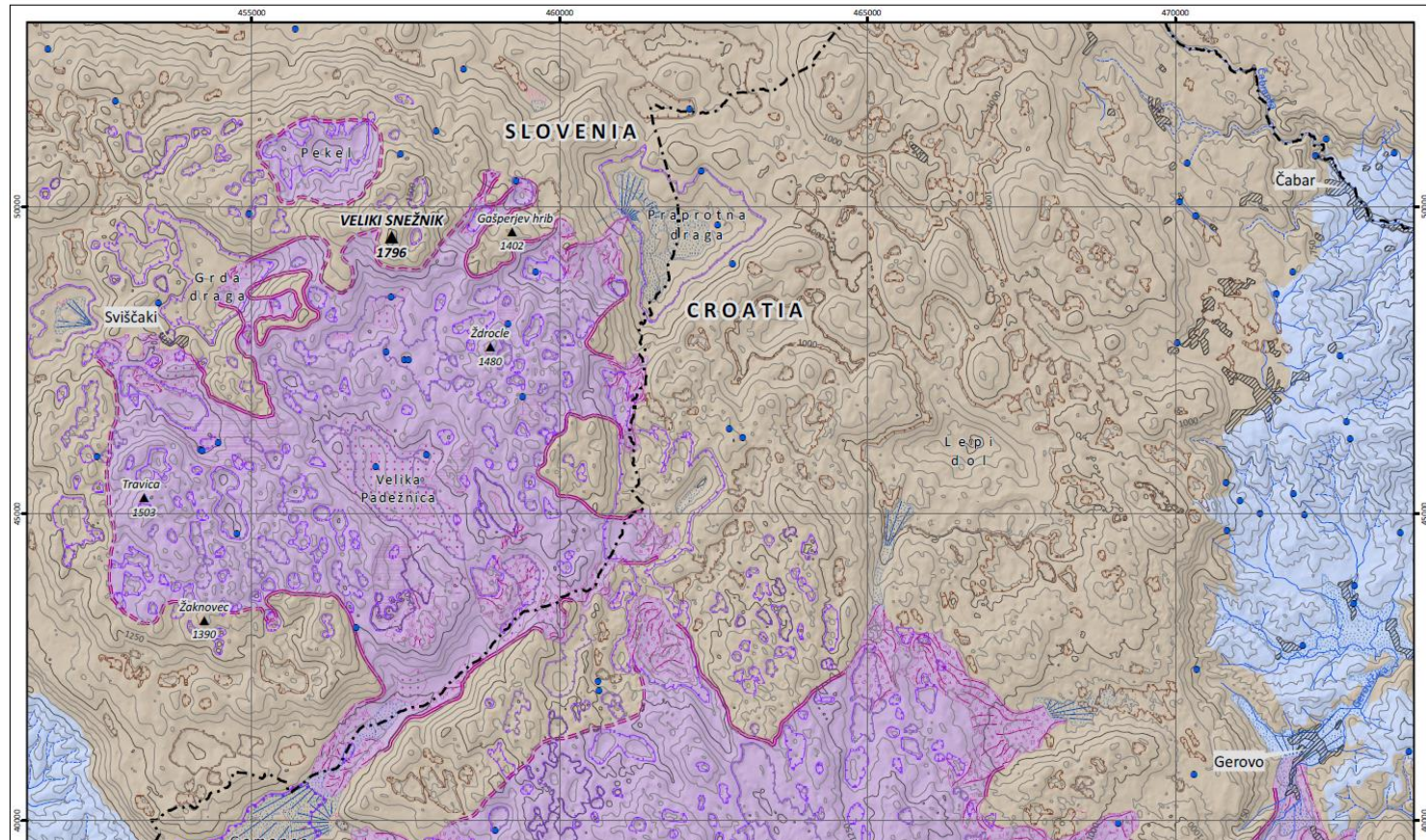
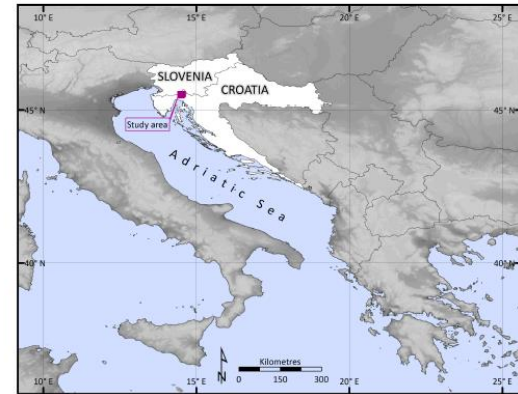
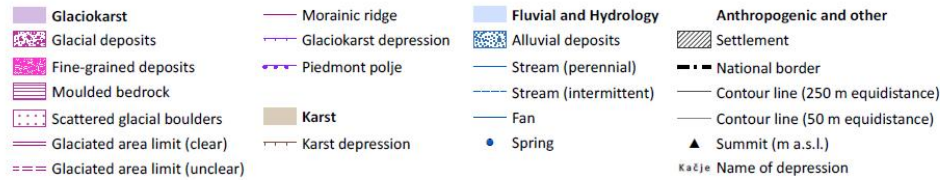
**ZONE CARSICHE**

---

# Glaciokarst geomorphology of the Northern Dinaric Alps: Snežnik (Slovenia) and Gorski Kotar (Croatia)

Žebre M., Stepišnik U.

Department of Geography, University of Ljubljana, Slovenia



---

**CARTE URBANE**

---